

IMPLEMENTERING AV KVOTREGULATOR  
PÅ MIKRODATOR

ANDERS NILSSON

RE-179 Juni 1976  
Inst. för Reglerteknik  
Lunds Tekniska Högskola

TILLHÖR REFERENSBIBLIOTEKET  
UTLANAS EJ

IMPLEMENTERING AV KVOTREGULATOR PÅ MIKRODATOR

EXAMENSARBETE

UTFÖRT AV ANDERS NILSSON  
UNDER VÅRTERMINEN 1976  
VID INSTITUTIONEN FÖR REGLERTEKNIK  
PÅ TEKNISKA HÖGSKOLAN I LUND

HANLEDARE:

BJÖRN WITTENMARK  
LEIF ANDERSSON  
ROLF BRAUN

# INNEHÅLLSFÖRTECKNING

Sammanfattning	2
Abstract	3
1 Inledning	4
2 Beskrivning av kvotregulatorn	5
3 Hårdvara	8
4040	9
S/F-omvandlare	10
Pulsräknare	10
Pulslängdsgivare	11
Termistorbrygga med probe	12
Effektregulator	13
Monovippa för avbrottssignal	13
Programmeringshjälpmödel	13
4 Mjukvara	15
KVOTR	16
MULTH	18
DIVIH	18
ROTH	19
DUB	19
Modifikationer av KVOTR	20
5 Uppkopplingsinstruktion	21
6 Experiment	23
System på analogimaskin	23
Styrsignalen	23
1:a och 2:a ordningens system	23
Steg- och rampstörningar	25
Variation av $T_s$	27
Begränsning av insignalens ändringsmöjligheter	30
Framkoppling	32
Långsamt system	33
Vattenvärmning	34
7 Referenser	35
Appendix 1	
Appendix 2	

## S A M M A N F A T T N I N G

Kvotregulatorn, som definieras av sambandet  $u(t) = y_r \cdot u(t-1)/y(t)$  ( beteckningar:  $u$  insignal,  $y$  verklig utsignal och  $y_r$  önskad utsignal på det system som skall styras), har undersökts huvudsakligen ur praktisk synvinkel i detta examensarbete.

En mikrodator av typ Intel 4040 har använts för att utföra beräkningarna i algoritmen och för att administrera signalflödet.

Enheter har byggts upp för att kunna mäta på processer ( spänningar eller temperaturer) och föra in dessa mätvärden i datorn, samt omvänt för att kunna ställa ut en styrsignal.

Ett basprogram som realiseras algoritmen och som upptar ca 325 minnesceller har skrivits i ett assemblerspråk för Intel 4040. Modifikationsmöjligheter har angivits i rapporten.

Experiment visar att kvotregulatorn fungerar på 1:a och 2:a ordningens system och eliminerar störningar tillfredsställande. Regulatorn är känslig för val av samplingstid, speciellt har den nackdelen att kräva mycket långa samplingsintervall vid långsamma system. De viktigaste fördelarna med kvotregulatorn är att inga parametrar i processen behöver vara kända och att stationärt fel i utsignalen saknas.

## A B S T R A C T

The regulator defined by the expression  $u(t) = y_r \cdot u(t-1)/y(t)$  (notations:  $u$  input signal,  $y$  measured output signal and  $y_r$  reference output signal of the process which is to be controlled) has been examined mainly from a practical point of view.

A microcomputer ( Intel 4040 ) has been used to execute the calculations of the algorithm and to administrate the flow of signals.

Units have been built to be able to measure ( voltages and temperatures ) on processes and then put these measurements into the computer, and reversely to be able to put out a control signal.

A basic program extending over about 325 memory cells has been written in an assembly language for Intel 4040. Some modifications of the program have been mentioned in the report.

Experiments indicate that the regulator works on systems of first and second order and in a satisfactory way eliminates disturbances. The sampling time is a very critical parameter. Especially the regulator has the disadvantage to require very long sampling intervals when the process is slow. The most important advantages of the algorithm are the lack of a stationary error in the output signal and that you do not have to know any parameters of the process.

## 1.

## I N L E D N I N G

Kvotregulatorn är en enkel parameterfri regulator, som kan reglera medelfelet till noll. Dess teoretiska uppbyggnad och funktion beskrives i kap. 2. Här anges förutom den enklaste varianten en del finesesser, som kan förbättra regulatorns egenskaper.

Kvotregulatorn realiseras lättast som en digital regulator. En dator krävs alltså. Regulatorns enkelhet gör att endast små krav ställs på datorn varför en mikrodator är fullt tillräcklig. Den största svårigheten med att använda en sådan ligger i kommunikationen med omvärlden. Hur detta problem har lösts framgår av kap. 3. Här beskrives även mikrodatorn kortfattat och något om hur man programmerar den.

För att styra datorn till att uppfylla kvotregulatorns funktion krävs ett program avpassat för den använda mikrodatorn. Hur detta har konstruerats kan studeras i kap. 4.

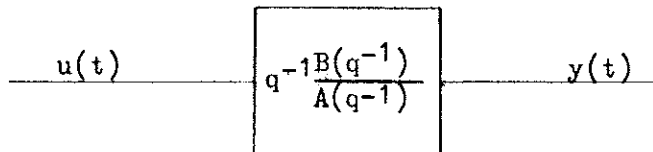
För den som önskar att använda uppställningen (mikrodatorn + ytterenheter) finns en uppkopplingsinstruktion angiven i kap. 5.

Till sist i kap. 6 prövas hur kvotregulatorn fungerar i praktiken. Olika system undersökes bl. a. uppvärmning av vatten på en kokplatta. Inverkan av störningar, samplingstidens betydelse och några modifikationer av basalgoritmen studeras.

## 2. BESKRIVNING AV KVOTREGULATORN

### ALLMÄNT:

Antag att vi har ett samplat system med en insignal och en utsignal enligt figuren nedan.



Om vi bortser från dynamiken i systemet får vi kvar den statiska delen  $\frac{B(1)}{A(1)} = k$  dvs som approximation kan gälla  $y(t) = k \cdot u(t-1)$ . Vi gör följande uppskattning  $\hat{k} = \frac{y(t)}{u(t-1)}$  vilket kan ses som ett specialfall av minsta kvadratuppskattningen

$$\hat{k}_{mk} = \frac{\frac{1}{N} \sum_{t=1}^N y(t)u(t-1)}{\frac{1}{N} \sum_{t=1}^N u(t-1)^2} .$$

Regulatorn får då utseendet

$$u(t) = \frac{y_r}{\hat{k}} = \frac{y_r}{y(t)} u(t-1)$$

där  $y_r$  är referensvärdet för utsignalen.

Intuitivt verkar algoritmen vara riktig. Om en viss insignal ej har gett  $y = y_r$  så ändras insignalen med faktorn  $y_r/y$  vid nästa sampling.

Ett nödvändigt krav för att kvotregulatorn skall fungera är att insignalen  $u(t) > 0$  för alla  $t$  och att kvoten  $y_r/y > 0$  för alla  $t$ .

Kvotregulatorn bör på grund av ovanstående approximation fungera bäst på system som ej innehåller alltför mycket dynamik.

Några fördelar hos regulatorn:

- o Inga parametrar hos systemet behöver vara kända
- o Ger inget stationärt fel, ty vid stationaritet gäller  $u(t) = u(t-1) \Rightarrow y(t) = y_r$
- o Enkel ur matematisk synvinkel

### STABILITET:

Kvotregulatorn är lokalt stabil för linjära dynamiska processer där utsignalen antar mer än hälften av sitt slutvärde i första mät punkten efter ett steg i insignalen enligt referens 1. Tiden som förlöper till första mät punkten bestäms av samplingstiden  $T_s$ . Vid tröga system krävs alltså en lång samplingstid. Överhuvudtaget ändras regulatorns inverkan på systemet kraftigt då  $T_s$  ändras. Vid användning av kvotregulatorn bör man alltså lägga ner en del arbete på att finna ett bra värde på  $T_s$ .

### FINESSER:

1/  $u_{min} > 1$

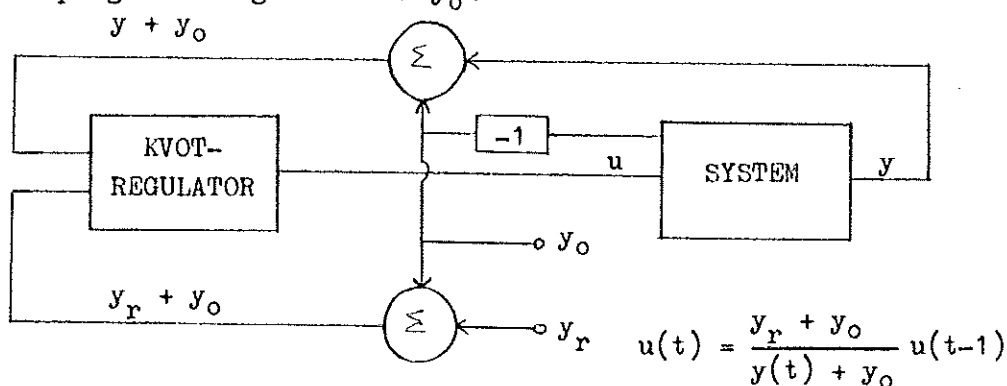
Vid en digital representation med n binära siffror av ingående variabler så representeras u i datorn med ett tal i intervallet  $[1, 2^n - 1]$ .  $u_{min}$  motsvaras alltså av en etta. För att komma från detta värde på u krävs att  $y_r/y(t) \geq 2$  om divisionen sker med avkortning. Om  $u=1$  måste vi följdakligen vänta tills  $y(t) < y_r/2$  innan regulatorn kan börja öka på insignalen och därigenom även öka på y. Denna olägenhet kan reduceras genom att begränsa u så att exempelvis  $u_{min} = 10$ . Observera dock att nu blir det svårare att nå låga  $y_r$ .

2/ begränsning av  $|\Delta u|$

Då utsignalen svänger kraftigt svänger likaså insignalen kraftigt. Genom att begränsa  $|\Delta u| = |u(t) - u(t-1)|$  får vi ett lugnare men samtidigt även en längsammare utsignal.

3/ framkoppling

Om systemet kan ge en negativ utsignal exempelvis vid en störning kan kvotregulatorn användas om vi har framkopplat systemet lämpligt. Se figur nedan.  $y_o > 0$



## 4/ medelvärdesbildning

Utgående från minstakvadratuppskattningen  $\hat{k}_{mk}$  kan vi uppskatta  $k$  genom att ta glidande medelvärden över de sista  $n$  värdena

$$\hat{k}_n = \frac{\frac{1}{n} \sum_{N-n}^N y(t)u(t-1)}{\frac{1}{n} \sum_{N-n}^N u(t-1)^2} ; \quad u(t) = \frac{y_r}{\hat{k}_n} .$$

## 5/ skattning av systemets dynamik

Antag att systemet kan skrivas

$$y(t) = ay(t-1) + (1-a)ku(t-1)$$

där  $a$  kan gissas ganska väl. Sätt

$$\tilde{u}(t) = \hat{a}u(t-1) + (1-\hat{a})u(t-1) .$$

$$\hat{a} = a \text{ ger } y(t) = k\tilde{u}(t) .$$

Regulatorn kan nu skrivas som

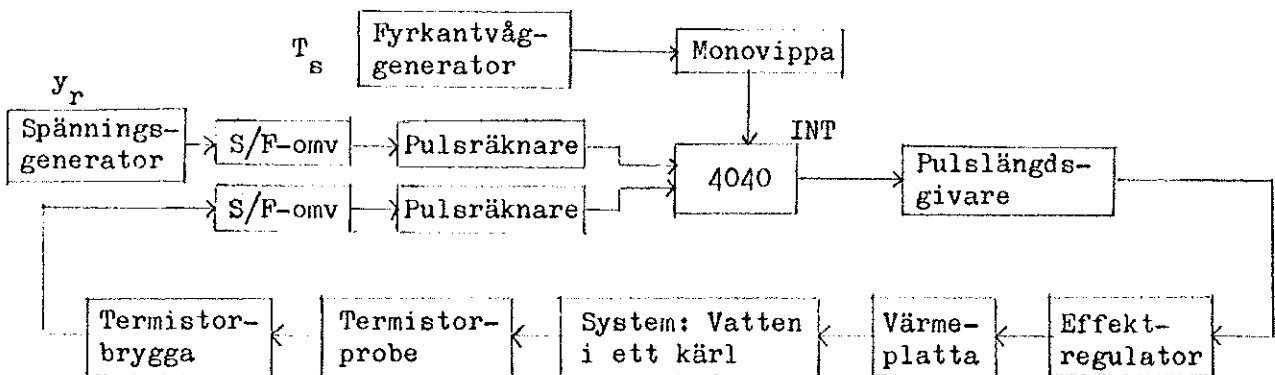
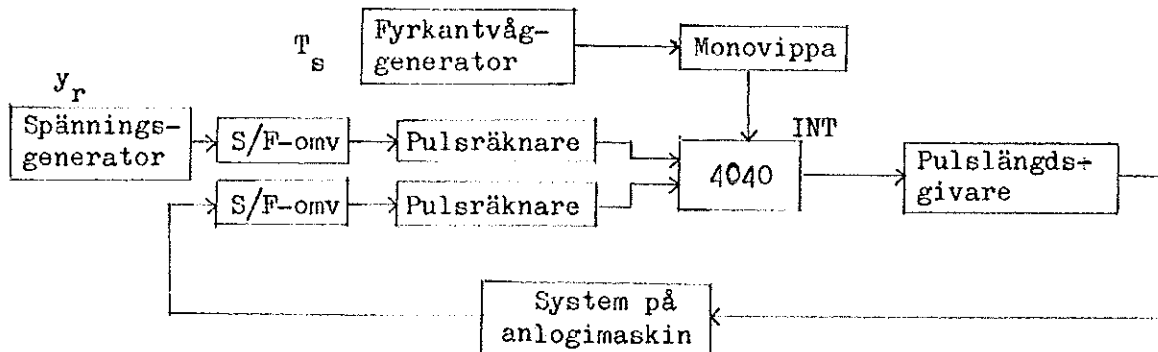
$$u(t) = \frac{y_r}{y(t)} \tilde{u}(t) .$$

$a = 0$  ger den vanliga kvotregulatorn.

## 3.

## HÅRDVARA

För att realisera en kvotregulator med utgångspunkt från en mikrodator krävs en mängd yttre enheter till datorn. Vad som krävs är beroende av det system man vill styra. Här nedan finns i form av blockсхемan möjliga lösningar anpassade till två olika system.  
 ( S/F-omv betyder spänning till frekvens omvandlare )



Då det övre schemat ingår som en del av det undre ges här endast en förklaring av det senare. Utgående från systemet mäter temperaturen med en termistorprobe. Termistorns resistans omvandlas till en spänning proportionell mot temperaturen av termistorbryggan. S/F-omv överför spänningen till en frekvens som räknas av pulsräknaren och resultatet matas in i mikrodatorn. Det beräknade u-värdet sändes till pulslängds-givaren vars utsignal består av pulser som har en längd prop. mot u. Denna pulslängd avgör hur stor del av effekten från ett vägguttag som skall matas in på värmeplattan.  $y_r$  bestämmes med en spänningsgenerator.

$T_s$  bestämmes av periodtiden hos fyrkantvågen vilken omvandlas av monovippan till en puls lämpad att sända som interruptsignal på 4040.

Nedan beskrives de olika enheterna var för sig. 4040:n, S/F-omv och programmeringshjälpmedeln fanns redan framtagna på institutionen varför de endast beskrivs översiktligt. Konstruktionen av pulsräknare, pulslängdsgivare, termistorbrygga med probe, effektregulator och monovippa har däremot ingått som en del av examensarbetet.

#### 4.0.4.0

Kopplingsschema för mikrodatorn finns på sidan 1 i appendix 1.

Några ur vår synpunkt viktiga data hos CPU:n:

- o 60 instruktioner
- o  $10,8 \mu\text{s}$  instruktionscykel
- o 4 bitars ordlängd
- o Avbrottsmöjligheter
- o 24 indexregister
- o 7 subrutinnivåer

En utförlig beskrivning av CPU:n återfinnes i referens 2.

Enligt kopplingsschemat finns 1 k PROM och 320 bit RAM tillgängligt som minnesutrymme.

På motsatta sidan från frontpanelen finns det på kretskortet fastsatt ett 64-pol kontaktdon. Genom detta kan 4040:n anslutas till andra enheter via en rack. En spänningssgenerator som ger drivspänning till kretsarna är ansluten på detta sätt. En förteckning över vad som är anslutet till de olika polerna finns på sidan 2 i appendix 1. Lägg speciellt märke till de 12 input lines (46-53, 56-59) och de 8 output lines (25-32) samt bussen (60-63), som kommer till användning vid kommunikationen med ytterligare enheter.

### S/F-omvandlare

Funktion: En likspänning 0 - 10 V omvandlas till korta pulser med frekvensen 0 - 2550 Hz .

Kopplingsschema på sidan 3 i appendix 1.

Om en likspänning 0 - 10 V lägges på ingången fås dels pulser och dels en sågtandspänning ut båda med en frekvens som är proportionell mot inspänningen. Frekvensintervallet är 0 - 2550 Hz. Pulserna har amplituden 15 V och har längden 76 s. Linearitetsfelet är mindre än 0,05 %.

Kalibreringar:

Vid en låg spänning ( exempelvis 10 mV ) justeras potentiometern i trimhål 1 så att utsignalen får rätt frekvens ( 2,55 Hz ).

Vid 10 V inspänning justeras potentiometern i trimhål 2 så att utsignalen får frekvensen 2550 Hz.

### Pulsräknare

Funktion: Antalet pulser som kommer in på enheten under en given tid räknas och resultatet överföres till 4040:n.

Kopplingsschema på sidan 4 i appendix 1.

Kretslayout på sidan 5 i appendix 1.

Det finns två pulsräknare på kretskortet, vars ingångar är märkta IN 1 och IN 2. In på enheten sändes pulser med en frekvens på 0 - 2550 Hz. Ut från enheten fås då ett 8-bitars binärt tal proportionellt mot frekvensen in. Detta sändes i två omgångar på en buss till 4040, som alltså måste vara sammankopplad med pulsräknaren via racken.

Pulsräknaren arbetar enligt följande:

( jmf kopplingsschemat och för varje krets funktion se referens 3 )

Pulser räknas under den tid då SR-vippans ( CD 4013 )  $\phi$ -utgång är satt.

( om inte overflow inträffar ). SR-vippan styrs av CPU:n. Räkningen startas då output line 4 exciteras och samtidigt nollställs räknaren ( CD 4040 ). Mikrodatorn programmeras så att efter 0,1 s exciteras output line 5 varvid räkningen avslutas. Har frekvensen varit 2550 Hz räknas alltså 255 pulser vilket motsvarar det binära talet 1111 1111. Även om vi sänder in en högre frekvens fås samma resultat ( overflow )

tack vare användningen av utgång 12 på räknaren. Det binära talet överföres till ingångarna på två multiplexerkretsar ( CD 4016 ). På kommando från CPU:n ( input lines 3,4,5 och 6 ) sänds de fyra mest signifikanta bitarna respektive de fyra minst signifikanta bitarna ut på bussen för att tas hand av 4040:n.

### Pulslängdsgivare

Funktion: Ett binärt tal hämtas från 4040:n varefter pulser ställs ut vars längd är proportionell mot detta tal.

Kopplingsschema på sidan 6 i appendix 1.

Kretslayout på sidan 7 i appendix 1.

In på enheten kommer ett binärt tal på åtta bitar från 4040:n. Detta omvandlas till en mot talet proportionell pulslängd 0 - 13 ms alternativt 0 - 2,56 s. Kretsen måste sammankopplas med 4040:n via racken, samt med en krets som ger en fyrkantvåg med frekvenserna 19,2 kHz på pol 21 och 300 Hz på pol 22 ( dessa frekvenser finns på en krets kallad Asynchronous Data Interface ( UART ) som är framtagen på institutionen ).

Pulslängdsgivaren arbetar enligt följande: ( jmf kopplingsschemat ) De fyra mest signifikanta bitarna överföres till den latchkrets ( CD 4042 ), som är märkt med ett C, från bussen då output line 2 aktiveras. Då output line 3 aktiveras överföres dessa till kretsen G samtidigt som de fyra minst signifikanta bitarna överföres till K. Det binära talet jämföres med det tal som bildas av räknarens ( CD 4040 ) utgångar. Då dessa är lika fås en puls efter kretsen A. Denna puls nollställer SR-vippan ( CD 4013 ) vilken sattes då räknaren nollställdes.  $\phi$ -pulsen är proportionell mot det binära talet eftersom räknehastigheten hos räknaren är konstant. När räknaren har kommit upp till 256 nollställes denna och förloppet repeteras. Frekvensen hos pulserna bestäms alltså av frekvensen in på räknaren med en faktor 1/256.

Alt 1/ 19,2 kHz in på räknaren ger en maximal pulslängd på 13,3 ms.  
 Alt 2/ 300 Hz in på krets B delas ner med en faktor 3 = 100 Hz in på räknaren vilket ger en maximal pulslängd på 2,56 s. Pulslängden är  $k \cdot 10$  ms där  $k$  är ett heltal  $0 \leq k \leq 255$  vilket är lämpligt för att effektreglera 50-periodisk växelström.

Termistorbrygga med probe

Funktion: Temperaturen vid probespetsen omvandlas till en likspänning 0 - 10 V .

Kopplingsschema på sidan 8 i appendix 1.

Kretskortet och panelen är tillverkade så att enheten kan innehålla två bryggor. För det här examensarbetet har endast en brygga behövts och därför saknas komponenter på den undre halvan av kretskortet.

En temperatur 0 - 100 °C på probespetsen omvandlas av enheten till en mot temperaturen proportionell spänning 0 - 10 V på utgången. Själva termistorn finns alltså i spetsen av proben omgiven av Silicone Heat Sink Compound för att ge god termisk kontakt med metallen som bildar ytterhölje till proben. Proben anslutes med en DIN-plugg till frontpanelen till termistorbryggan.

### Effektregulator

Funktion: Med hjälp av en styrsignal avgöres hur mycket effekt som skall tas ut från en växelströmskälla ( vanligt vägguttag ).

Kopplingsschema på sidan 9 i appendix 1.

Om styrsignalen är 15 V så fårs som utsignal 220 VAC och lampan tändes. Vid styrsignalen 0 V ligger även utgången på 0 V och lampan är släckt.

### Monovippa för avbrottssignal

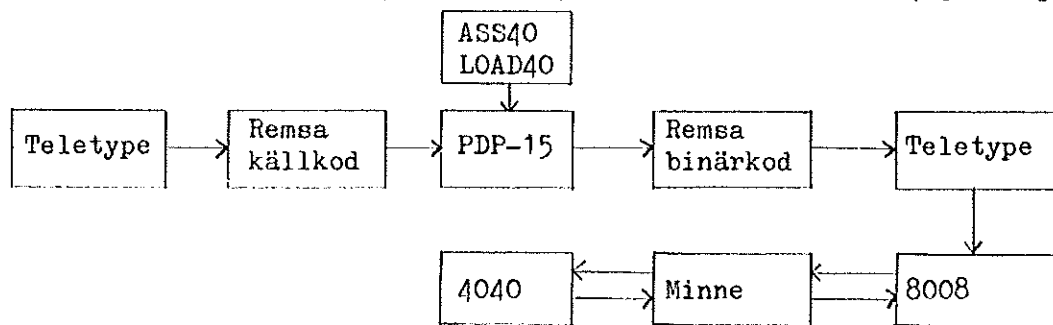
Funktion: Omvandlar en fyrkantvåg till pulser med samma frekvens.

Kopplingsschema på sidan 10 i appendix 1.

Som insignal användes en fyrkantvåg med amplituden 10 V. Monovippan triggas på dess negativa flank och ger som utsignal en puls med en pulslängd på ca 20  $\mu$ s, vilket är lagom som avbrottssignal på 4040:n.

### Programmeringshjälpmödel

Vid programutvecklingen har följande teknik använts: ( jmf figuren )



Ett första utkast till program har skrivits in på en teletype i ett assemblerspråk för 4040 ( se referens 2 ). Remsan från denna har matats in i en dator ( PDP-15 ) där programmet kan editeras. Man kan här lagra programmet på bandminne. På PDP-15 utföres även assemblering och laddning med programmen ASS40 och LOAD40. Assemblern översätter till maskinkod och laddaren länkar subrutiner, ser till att programmet läggs ut i rätt minnesceller och trycker ut resultatet på hålremsa. Denna remsa har matats in i en teletype och innehållet har lagts ut i ett RAM-minne via en mikrodator ( Intel 8008 ). Med hjälp av 8008:n kan man undersöka, stega fram, ladda in och ändra i RAM-minnet. Till sist har minnet använts som programminne åt 4040:n.

Efter uttestning av programmen har dessa lagts in i PROM-minnen vilka appliceras på 4040:s kretskort.

4.

## M J U K V A R A

Ett huvudprogram KVOTR och fyra subrutiner MULTH, DIVIH, ROTH och DUB användes för att styra mikrodatorn så att kvotregulatorns funktion uppfylls. Programmen är skrivna i ett assemblerspråk för Intel 4040 och för instruktionernas betydelse se appendix 2 sidan 1 samt referens 2 och 4. Talrepresentationen är 8 bitars binära heltal där 0 motsvarar minimal signal och 1111 1111 motsvarar maximal signal.

Programmens storlek framgår av nedanstående tabell där dels det minnesutrymme som upptas av programmet och dels den tid det tar för datorn att genomlöpa programmet anges. Den senare kan endast anges ungefärligt eftersom den är beroende av vilka tal som ingår i beräkningarna.

Program	Minnesutrymme ( antal minnesceller )	Exekveringstid ( ms )
KVOTR	109	210 ( per loop )
MULTH	110	5,3
DIVIH	89	3,6
ROTH	17	0,2
DUB	60	0,5
Totalt:	385	

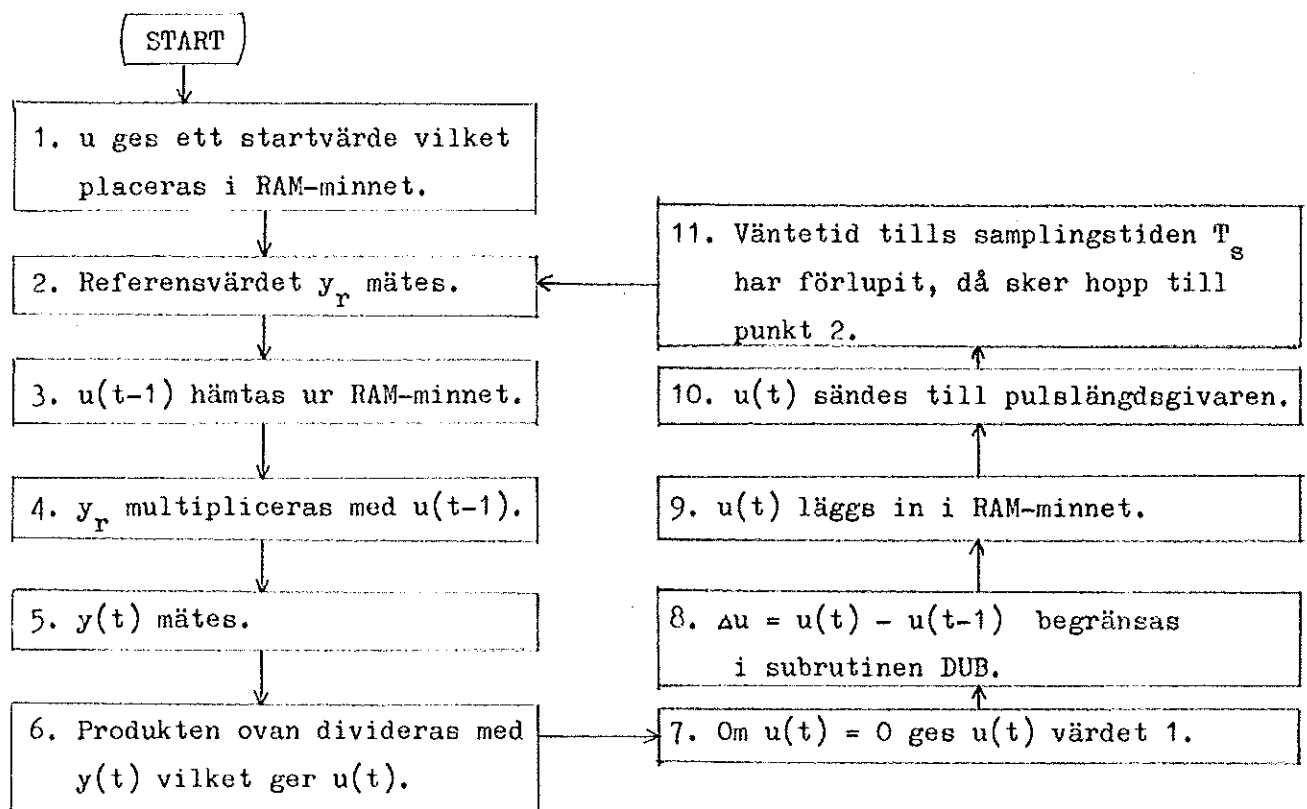
Programmen finns listade i appendix 2. I listningen har modifikationen med rutinen DUB upptagits. För att få basprogrammet strykes bara instruktionen JMS DUB .

Nedan beskrivs programmen var för sig.

KVOTR

$$\text{Formel: } u(t) = y_r \cdot u(t-1)/y(t)$$

Programmets huvuddrag angivet i ett flödesschema:



Kommentarer till ovanstående punkter:

- Startvärdet på  $u$  har valts till  $u_{\max}/2$  vilket ger en flexibel regulator. I speciella fall kan dock andra startvärdet vara bättre. Värdet lagras i RAM-minnet, chip 0, register 0, status character 2 och 3 ( jmf referens 2 ) och kommande styrsignaler läggs efterhand in i samma celler.
- Referensvärdet  $y_r$  ligger som en spänning mellan 0 V och 10 V på S/F-omv vars utgång har kopplats till ingången IN1 på pulsräknaren. Räknaren startas genom en aktivering av output line 4 ( WRR-instruktionen ). Rutinen ETS åstadkommer en fördröjning avpassad så att

räknetiden blir 0,1 s. Räknaren stoppas genom en aktivering av output line 5. Aktivering av input line 5 ( RDR-instruktionen ) slussar in de fyra mest signifikanta bitarna till CPU:N. Aktivering av input line 6 slussar in övriga bitar.

4. Subrutinen MULTH användes. För detaljer se under rubriken MULTH nedan. Rutinen ger som resultat ett 16 bitars tal som får ligga kvar i indexregistren R4 - R7.
5. Samma teknik som under punkt 2 ovan. Observera dock att pulsräknarens ingång IN2 skall användas.
6. Subrutinen DIVIH användes. För detaljer se under rubriken DIVIH nedan. Resultatet  $u(t)$  ligger i indexregistren R6 Och R7.
7. Nödvändigt eftersom  $u(t) = 0$  förstör algoritmens fortsatta användande.
8. Se under rubriken DUB nedan. Om  $|\Delta u| > a$  ändras alltså  $u(t)$ .
9. Jämför punkt 1 ovan.
10. Det sker huvudsakligen genom en aktivering av output lines 2 och 3.
11. Denna punkt har realiseras med följande teknik. Först möjliggöres avbrott genom satsen enable interrupt ( EIN ). Därefter snurrar programmet i en miniloop eftersom innehållet i ackumulatorn är nollställt. Då interruptsignal kommer sker automatiskt ett hopp till minnescell 3 i programminnet där en avbrottssrutin finns. I denna laddas ackumulatorn med en etta varefter hopp sker tillbaka till huvudprogrammet. Miniloopen lämnas. Disable interrupt ( DIN ) ser till att programmet ej avbrytes någon annanstans än i miniloopen. Till sist sker hopp till LOOP dvs till punkt 2 ovan. Samplingstiden är alltså lika med perioden hos interruptsignalen om programmet hinner genomlöpas mellan två signaler.

MULTH

I referens 4 finns en rutin MULT beskriven. Den multiplicerar två 8-bitars tal givna i 2-komplementform med varandra. Faktorerna skall ligga i indexregistren R0,R1 och R2,R3 , medan resultatet fås med 16 bitar i registren R4 - R7. Rutinen utnyttjar följande teknik. Talen delas upp i 4-bitars tal och multipliceras ihop enligt:

$$( A \cdot 2^4 + B ) \cdot ( C \cdot 2^4 + D ) = A \cdot C \cdot 2^8 + ( A \cdot D + B \cdot C ) \cdot 2^4 + B \cdot D$$

där A och C är de fyra första bitarna av talen och B och D är de fyra sista bitarna

MULT har omarbetats så att den räknar på heltal och kallas då för MULTH. Följande ändringar har gjorts:

- o Nolltesten av faktorerna ( instruktionerna 4 - 21 i MULT ) har tagits bort eftersom KVOTR ser till att ingen av faktorerna kan vara noll.
- o ABSOL-rutinen och anropen av densamma ( instruktionerna 22 - 33 i MULT ) har plockats bort då endast positiva tal behandlas.
- o Då heltal multipliceras hamnar resultatet direkt i rätt position varför rutinen ROT ej behöver anropas ( instruktion 130 i MULT ).
- o En addition har glömts bort i MULT och därför har instruktionerna CLC och ADD R4 lagts till efter instruktion 117 i MULT.

DIVIH

I referens 4 finns en rutin DIV beskriven. Den dividerar ett 16-bitars tal i indexregistren R4 - R7 med ett 8-bitars tal i R0,R1. Det senare givet i 2-komplementform. Resultatet läggs i R6,R7. Rutinen använder sig av Burks algoritm för division utan återställning som beskrivs noga i referens 5.

DIV har omarbetats så att den räknar på heltal och kallas då för DIVIH. Följande ändringar har gjorts:

- o ABSOL-rutinen och anropet av densamma ( instruktion 3 i DIV ) har tagits bort då endast ett positivt tal är aktuellt från början.

- o Den del av programmet DIV som kommer under labels ROTR och TWOSC ( instruktionerna 50 - 107 i DIV ) har tagits bort eftersom de överför resultatet till tvåkomplementform vilket ej är önskvärt.
- o För att kunna använda tekniken i DIV för heltal har både dividend och divisor högerskiftats ett steg med nollutfyllnad från vänster. Divisorernas sista bit har lagts i R2:s första position och dividendens sista bit har placerats i R9:s sista position. I de additioner, subtraktioner och högerskift som utföres i rutinen har hänsyn tagits till ettstegsförskjutningen.
- o Om divisor är noll blir resultatet av divisionen det största möjliga representerbara talet dvs 1111 1111.

### ROTH

I referens 4 finns rutinen ROT beskriven. Den vänsterskiftar indexregistren R4 - R7 ett steg med nollutfyllnad. För att passa till DIVIH har vänsterskiftet utökats med en bit nämligen sista biten i R9 som placerats längst till höger i registerkedjan.

### DUB

Denna rutin begränsar  $\Delta u = u(t) - u(t-1)$  på så sätt att  $|\Delta u| \leq a$  där  $a$  väljes vid programmeringen. Om ovanstående relation ej är uppfylld av det framräknade  $u(t)$  ersättes detta med  $u(t-1) \pm a$  beroende på tecknet på  $\Delta u$ .

Beräkningsgång i rutinen:

1.  $u(t) - u(t-1) \rightarrow \Delta u$
2. Om  $\Delta u < 0$  så  $-\Delta u \rightarrow |\Delta u|$  och 1  $\rightarrow$  R0 annars  $\Delta u \rightarrow |\Delta u|$  och 0  $\rightarrow$  R0.
3. Om  $|\Delta u| - a > 0$  så, om  $R0 = 0$  så  $u(t) = u(t-1) + a$  annars  $u(t) = u(t-1) - a$ , annars ändras ej  $u(t)$ .

Modifikationer av KVOTR

Några möjliga ändringar av algoritmen:

1. Insignalens förändring kan begränsas genom användandet av subrutinen DUB. Parametern a bestämmes i rutinens andra instruktion. Satsen JMS DUB skjutes in efter sats 107 i KVOTR.
2.  $u_{min}$  kan ökas från värdet 1. Som exempel väljes  $u_{min} = 16$ . Då skall sats 104 JFZ B ändras till XCH R7 och sats 107 XCH R7 skall ändras till XCH R6.
3. Om mätningen av  $y_r$  lägges utanför huvudloopen i KVOTR kortas exekveringstiden med ca 0,1 s vilket möjliggör mindre värden på samplingstiden. Nackdelen med detta är att  $y_r$  ej kan ändras medan 4040:n exekverar KVOTR utan programmet måste omstartas för att få in det nya värdet. Praktiskt sker modifikationen genom att flytta labeln LOOP till sats 41 SRC RO.
4. Värdet på  $u(0)$  kan ändras med satserna 11 och 13 i KVOTR.

## 5.

## U P P K O P P L I N G S I N S T R U K T I O N

## I System på analogimaskin ( jmf systemskiss på sidan 8 )

- o Placera PROM-minnen innehållande lämpligt program på 4040:s kretskort.
- o Placera 4040:n, pulsräknaren, pulslängdsgivaren och den kalibrerade ( se sidan 10 ) S/F-omv i racken.
- o Koppla upp ett system på analogimaskinen. Anslut ingången och utgången till tie-points.
- o Systemets utsignal kopplas till en av S/F-omv gröna ingångar. Motsvarande utgång på S/F-omv kopplas till pulsräknarens ingång IN 2.
- o Pulslängdsgivarens utsignal dämpas med en faktor 2/3 med en potentiometer på analogimaskinen ( för att få ner maxspänningen från 15 V till 10 V ) och kopplas sedan som insignal till systemet. Observera att pulslängdsgivaren måste få en lämplig frekvens via kontaktdonet på baksidan av kortet. Denna får enlast genom att placera enheten Asynchronous Data Interface ( UART ) i racken så att kontakt erhålls enheterna emellan.
- o Referensspänningen  $y_r$  ( 0 - 10 V ) hämtas från analogimaskinen och kopplas in på den icke använda ingången på S/F-omv, vars utgång ansluts till pulsräknarens ingång IN 1.
- o Fyrkantvågen med full amplitud från analogimaskinens signalgenerator användes som insignal till monovippan. Den senares utsignal kopplas till det vita interruptuttaget på 4040:n. Periodtiden hos vågen är lika med samplingstiden  $T_s$ .
- o Spänningsgeneratorn i racken och analogimaskinen slås på. Omkopplaren på 4040:n slås över i läge RUN varvid regleringen kan börja om analogimaskinen arbetar i OPERATE.

## II Vattenvärmning ( jmf systeskiss på sidan 8 )

- o Samma kopplingar som ovan om ordet system tolkas som effektregulator, värmeplatta, vatten i ett kärl och termistorbrygga med probe tillsammans.
- o Pulslängdsgivarens utsignal är då systemets insignal och kopplas till styringången på effektregulatorn.
- o I det jordade uttaget på den senare kopplas värmeplattan.
- o Ett kokkärl fylls med vatten och ställes på värmeplattan.
- o Termistorprobens spets sänks ner i vattnet och proben kopplas till termistorbryggan.
- o Utgången från termistorbryggan är i detta fallet systemets utsignal och kopplas alltså till en S/F-omv.

## 6.

## E X P E R I M E N T

Kvotregulatorn har testats mot två olika typer av system.

- I Linjära system uppkopplade på analogimaskin där in- och utsignaler fysikaliskt är elektriska spänningar.
- II Ett system som består av en mängd vatten som värmes upp av en kokplatta. Insignalen till systemet är den effekt som tillföres kokplattan och utsignalen är temperaturen hos vattnet.

I System på analogimaskin  
\*\*\*\*\*

Styrsignalen

Styrsignalen skall enligt teorin vara konstant under samplings-intervallen. Detta kan uppnås genom att medelvärdesbilda utsignalen från pulslängdsgivaren med något enkelt filter. Problem uppstår emellertid gärna med dynamiken hos filtret. Problemet kringgås i vårt fall genom att de undersökta systemen är långsamma i förhållande till periodtiden ( 13 ms ) hos den pulsmodulerade styrsignalen. Denna signal kan då användas direkt som insignal till systemet.

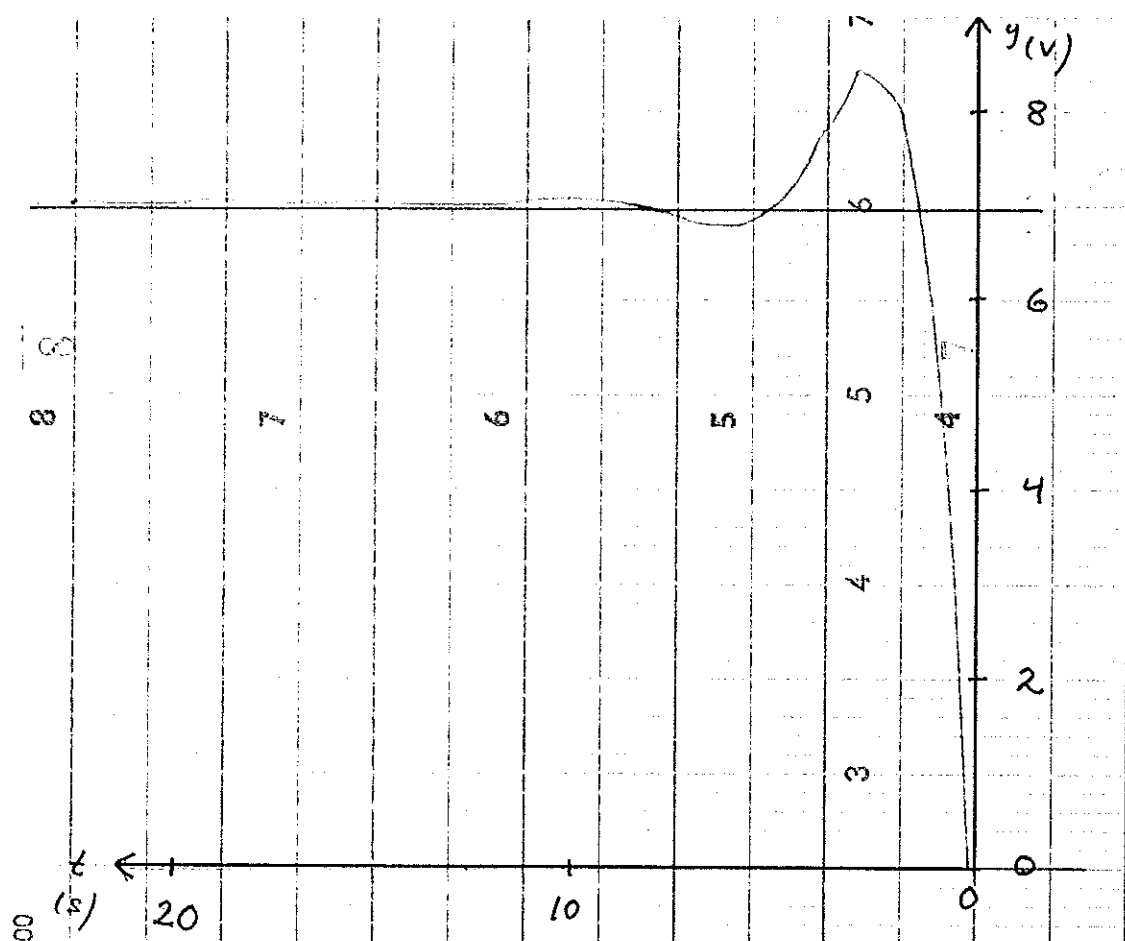
1:a och 2:a ordningens system

Basprogrammet KVOTR har körts mot systemet  $G_1 = \frac{1}{s+1}$  med  $y_r = 7 \text{ V}$ ,  $T_s = 1 \text{ s}$  och begynnelsevärdet  $y(0) = 0 \text{ V}$ . Resultatet finns i figur 1. Skalan på tidsaxeln är  $\frac{1}{320\text{mm}/\text{min}} = \frac{1}{5,3\text{mm}/\text{s}} = 1,9 \text{ s/cm}$ . Utsignalen  $y$  svänger alltså in sig mot  $y_r$  efter en relativt stor översläng.

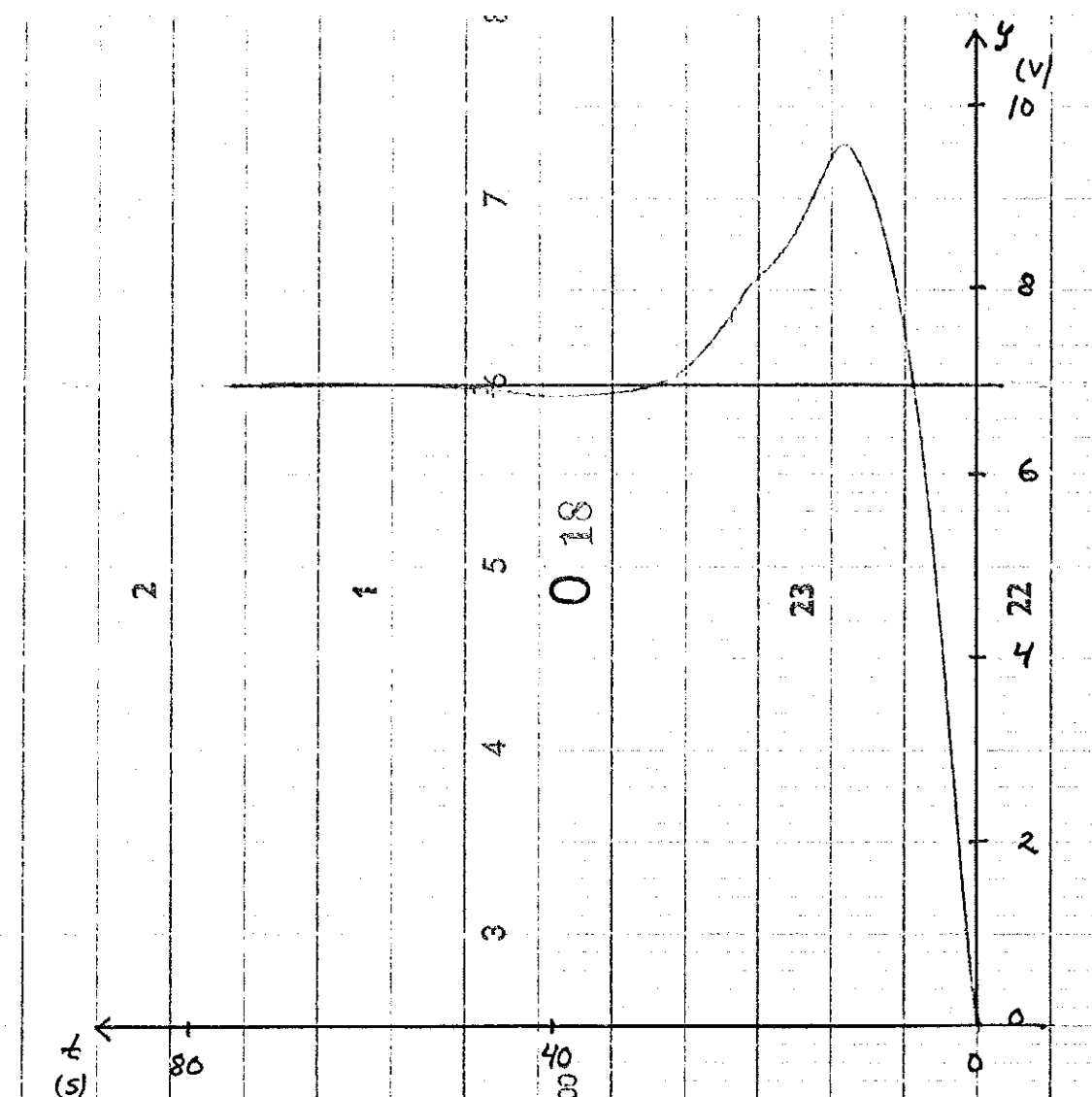
För motsvarande försök där endast systemet har ändrats till  $G_2 = \frac{1/8}{(s+1/4)(s+1/2)}$  återges utsignalen i figur 2. Här har tidsaxeln krympts ihop med en faktor 4. Vi får här ett långsammare gensvar från systemet vilket är att vänta eftersom det har större tidskonstanter än  $G_1$ . Dessutom blir överslängen här ännu större än i förra fallet.

Av dessa försök framgår att regulatorn fungerar för dessa system och svänger in sig snabbt och bra mot  $y_r$  efter en första översläng som dock är stor.

Figur 1



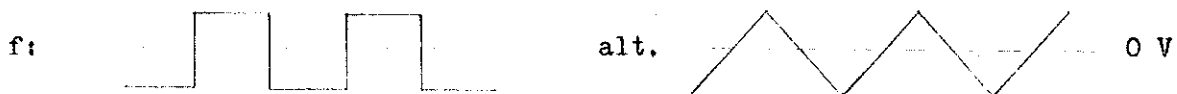
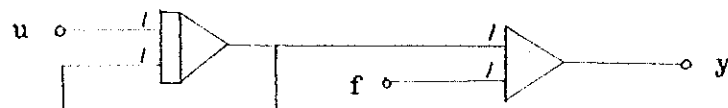
Figur 2



System:  $G_2$   
 $T_s = 10$  s  
 $y_r = 7$  V  
 $y(0) = 0$  V

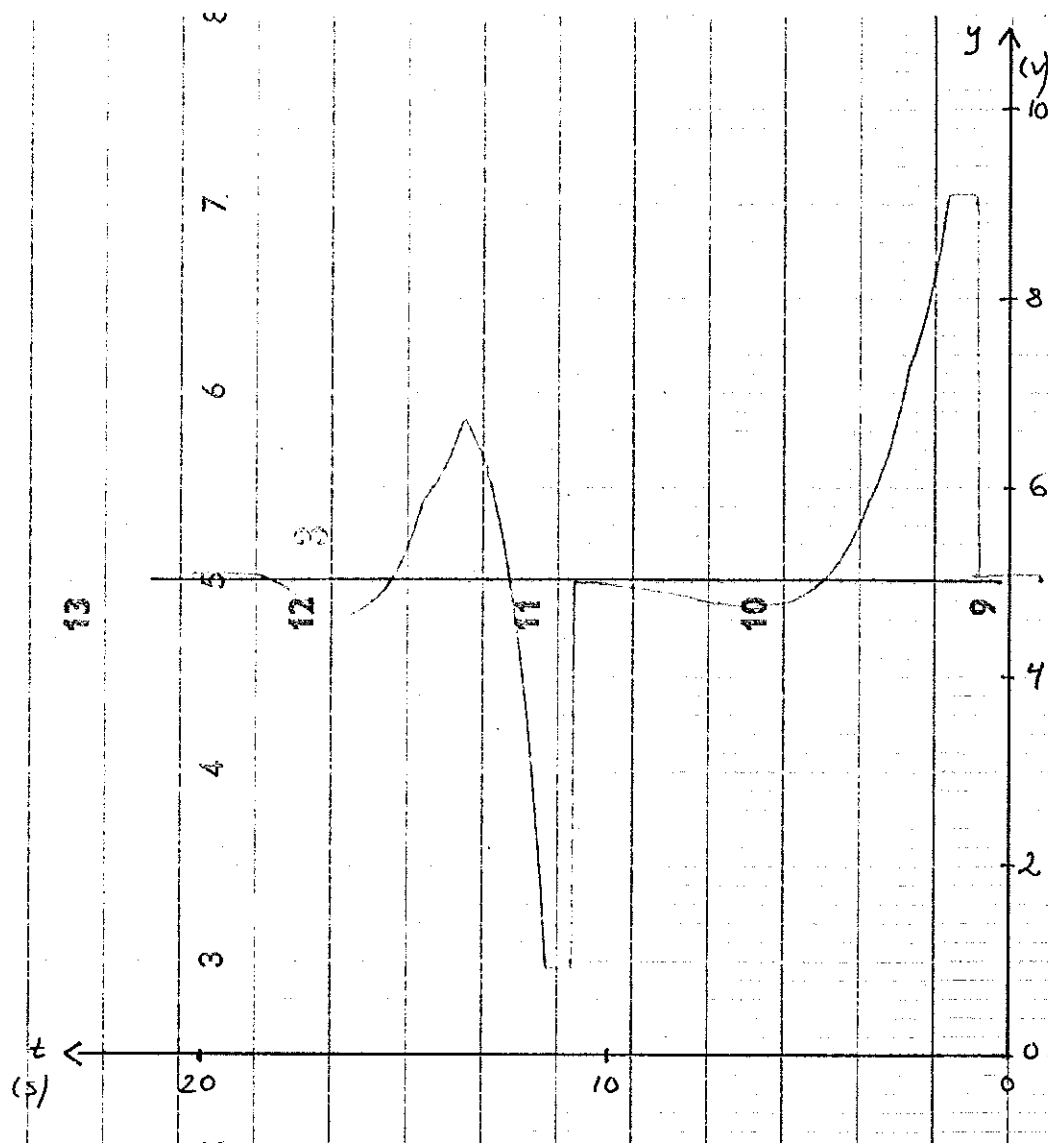
### Steg- och rampstörningar

Störningarna har lagts in på följande sätt:



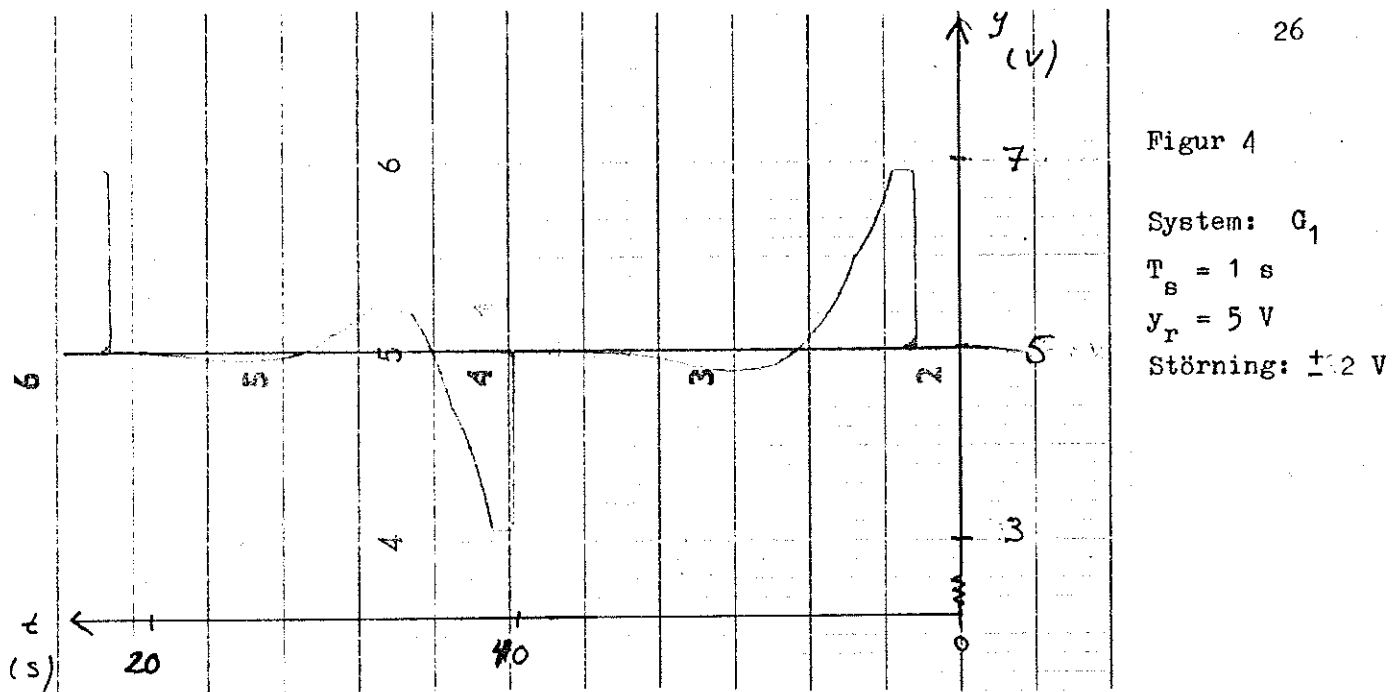
I figur 3 och 4 visas vad som händer då stegstörningar med amplituden 4 V respektive 2 V appliceras på systemet  $G_1$  ( $y_r = 5 \text{ V}$ ,  $T_s = 1 \text{ s}$ ).

En positiv störning dämpas ut relativt långsamt medan en negativ kompenseras snabbt med en stark insignal vilket ger en stor översläng.



Figur 3  
 System:  $G_1$   
 $y_r = 5 \text{ V}$   
 Störning:  $\pm 4 \text{ V}$   
 $T_s = 1 \text{ s}$

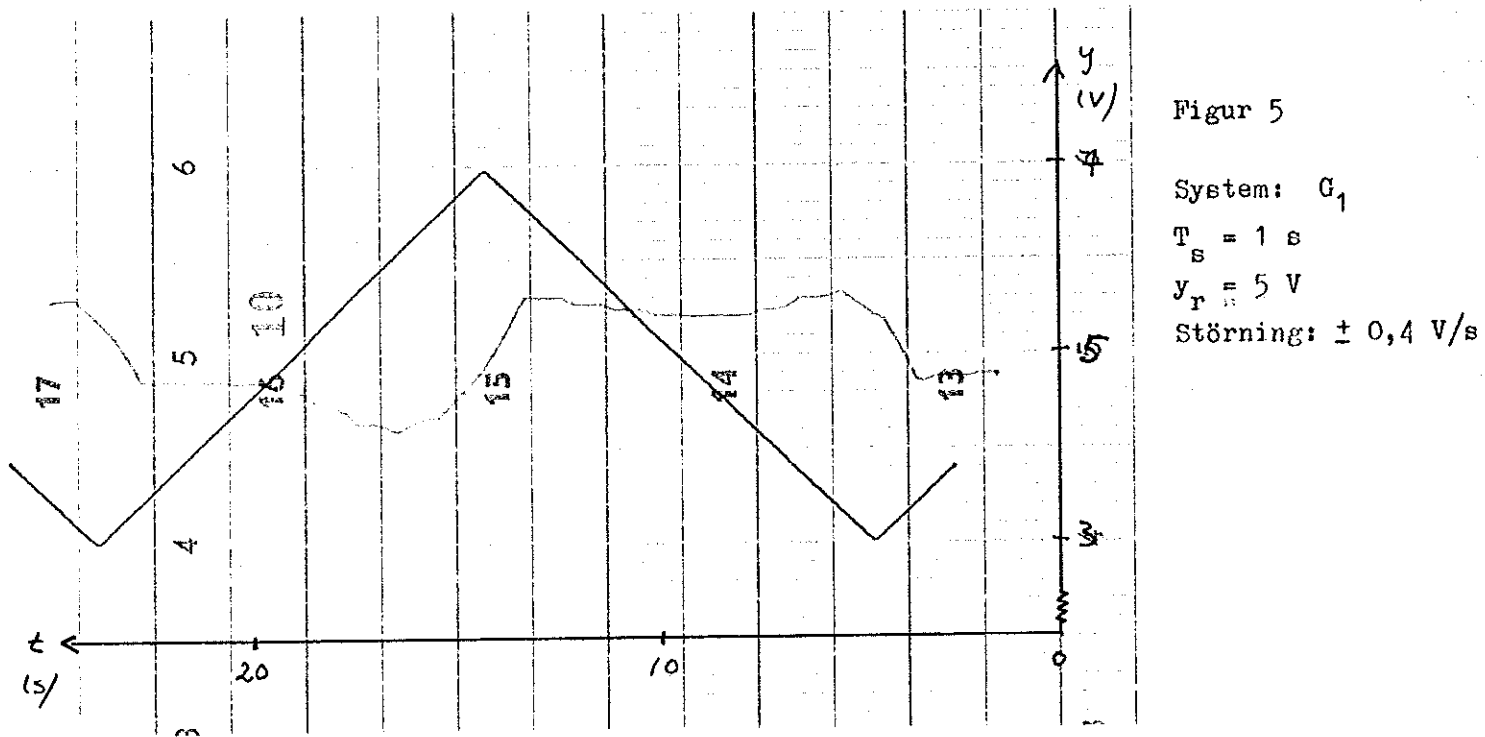
Figur 4



I figur 5 och 6 visas utsignalen då systemet störs av rampstörningar  $0,4 \text{ V/s}$  respektive  $0,8 \text{ V/s}$ . Störningens tidsmässiga inplacering och amplitud åskådliggöres av den blåa linjen.

I båda fallen får ett stationärt fel. Regulatorn klarar alltså ej av att reglera ut störningarna helt. Vid den mindre störningen kompenserar regulatorn denna så att maximala avvikelsen från  $y_r$  är ca  $0,8 \text{ V}$ . Vid den större störningen blir motsvarande maximala avvikelse ca  $2 \text{ V}$ . Här framgår även att kvotregulatorn lättare klarar av en avtagande ramp än en växande.

Figur 5

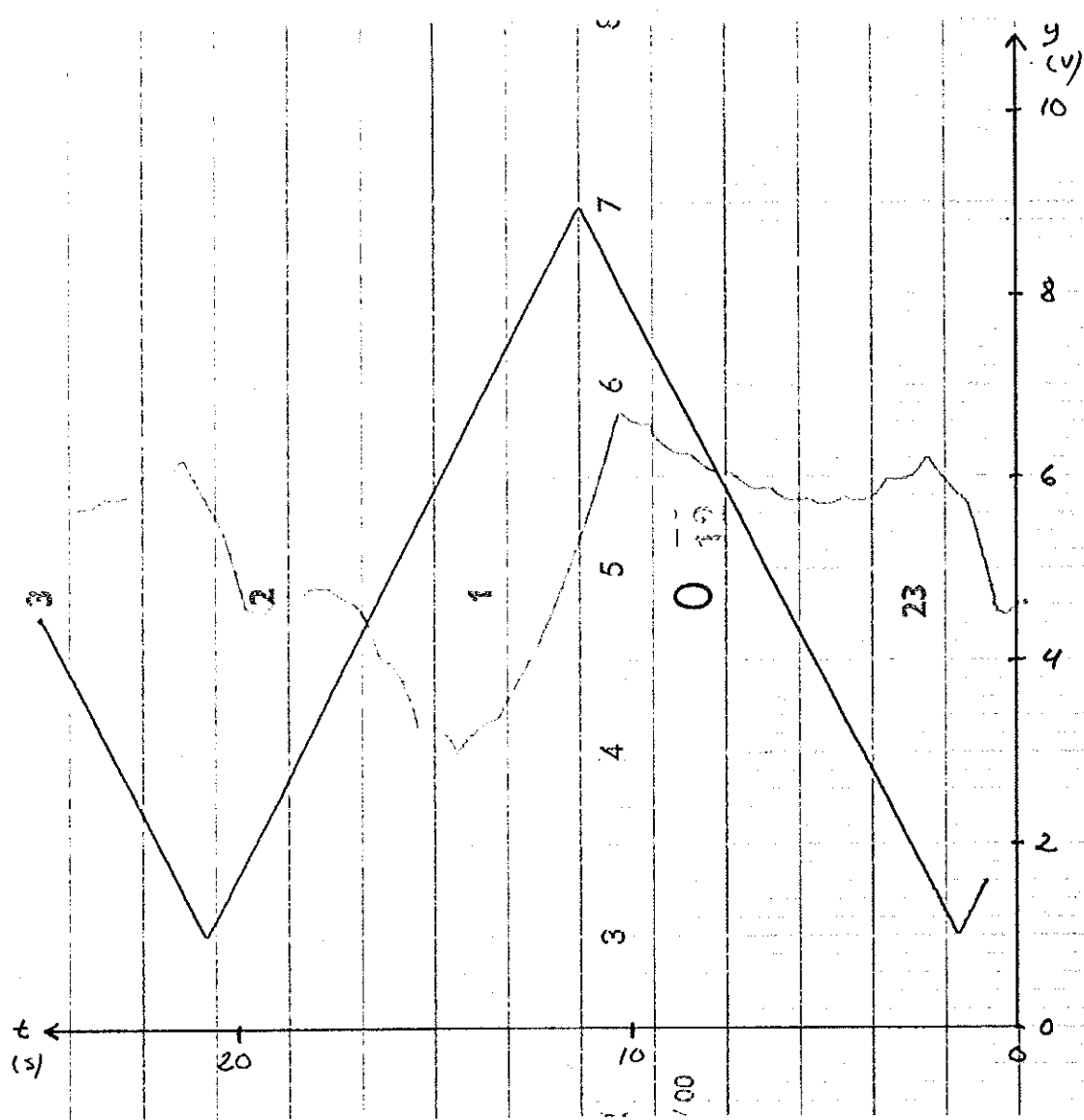


Figur 6

System:  $G_1$ 

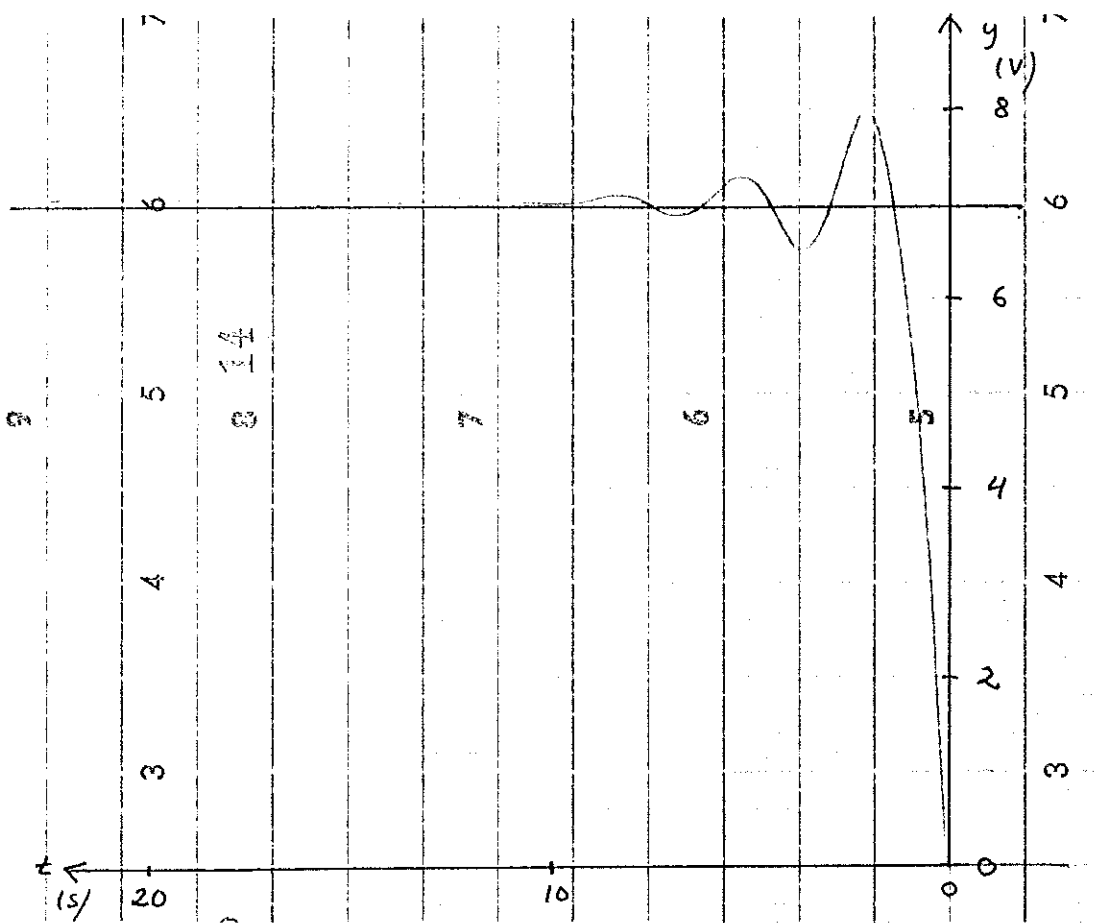
$T_s = 1 \text{ s}$

$y_r = 5 \text{ V}$

Störning:  $\pm 0,8 \text{ V/s}$ Variation av  $T_s$ 

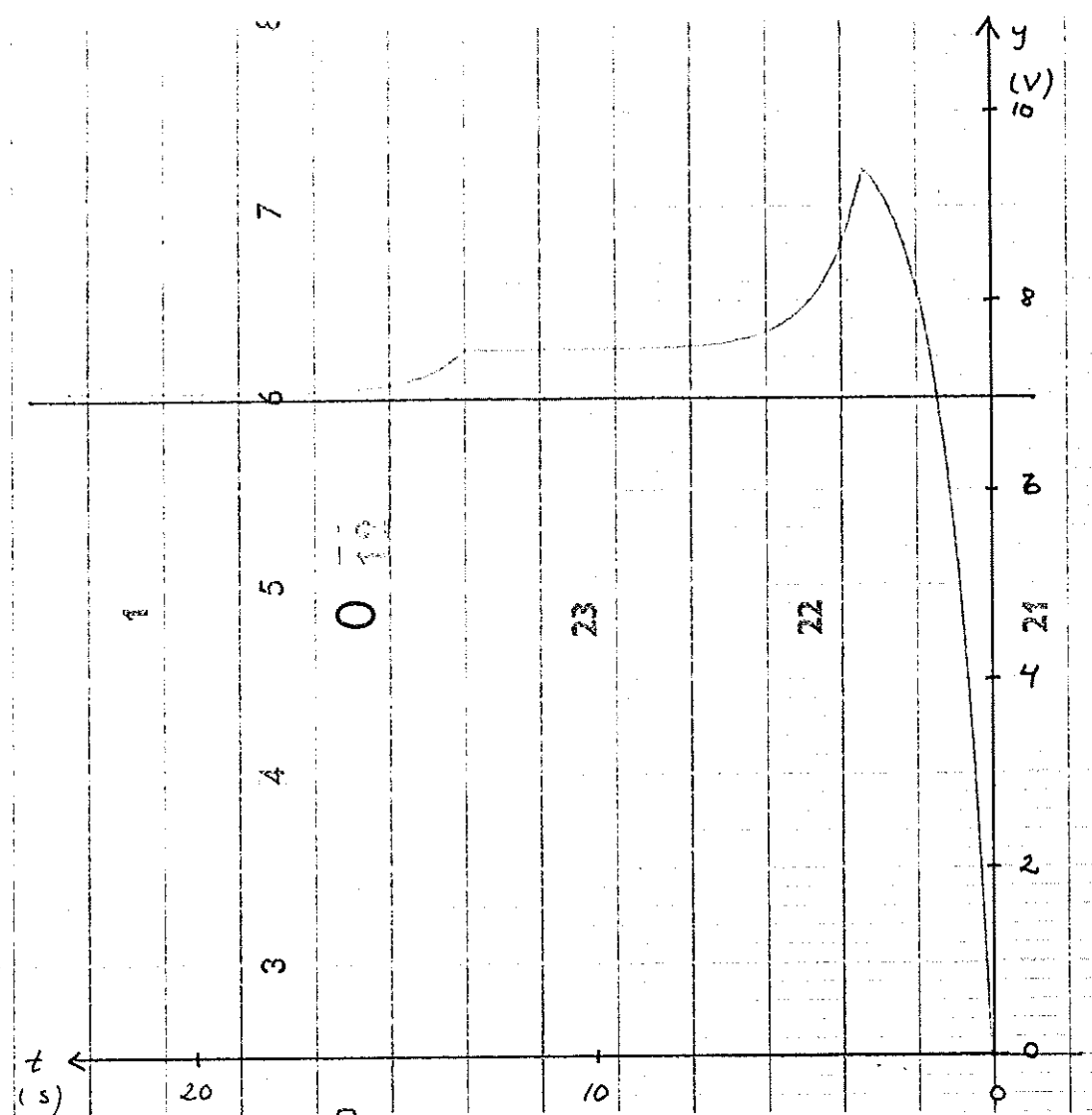
Figur 7 och 8 visar utsignalen vid samplingstiderna 0,22 s respektive 10 s då systemet är  $G_1 = \frac{1}{s+1}$ ,  $y_r = 7 \text{ V}$  och  $y(0) = 0 \text{ V}$ . Dessa kurvor kan jämföras med figur 1 där motsvarande försök har körts med samplings-tiden 1 s. Samplingstiden 0,22 s är ungefär lika med exekveringstiden för KVOTR och är alltså minsta möjliga samplingstid. Den har erhållits genom att ha en hög frekvens hos interruptsignalen (100 Hz).

Av diagrammen framgår att systemet är stabilt för alla  $T_s$ . Det svänger mindre med ökande storlek på  $T_s$  men samtidigt blir överslängen större. Vid  $T_s = 10 \text{ s}$  ligger utsignalen onödigt länge på värdet 7,5 V, systemet så att säga bara väntar på nästa sampling.



Figur 7

System:  $G_1$   
 $T_s = 0,22 \text{ s}$   
 $y_r = 7 \text{ V}$   
 $y(0) = 0 \text{ V}$



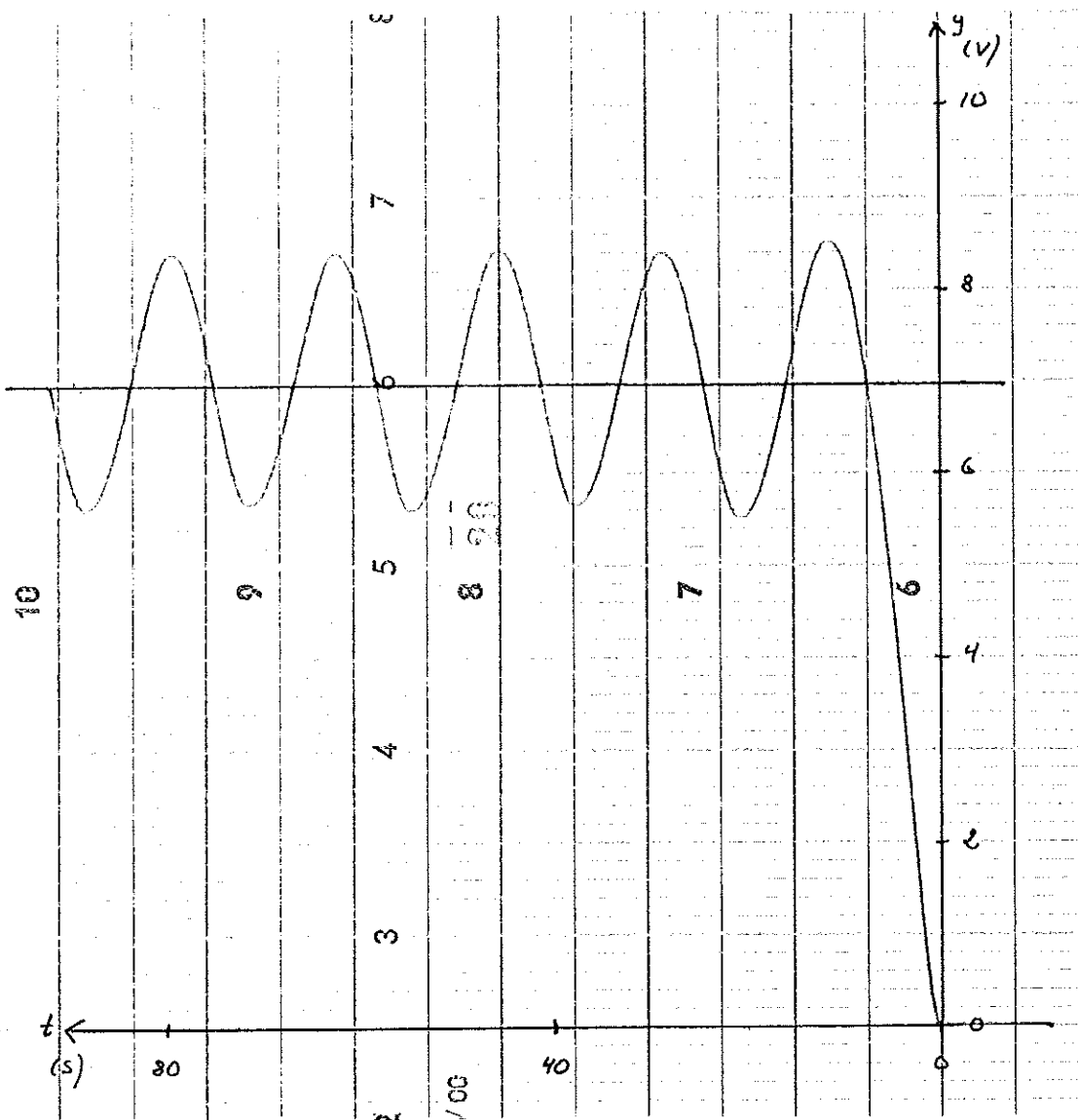
Figur 8

System:  $G_1$   
 $T_s = 10 \text{ s}$   
 $y_r = 7 \text{ V}$   
 $y(0) = 0 \text{ V}$

Figur 9 och 10 visar utsignalen vid samplingstiderna 1 s respektive 2 s då systemet är  $G_2 = \frac{1/8}{(s+1/4)(s+1/2)}$ ,  $y_r = 7 \text{ V}$  och  $y(0) = 0 \text{ V}$ . Dessa kurvor kan jämföras med figur 2 där motsvarande försök har körts med samplingstiden 10 s. Observera tidsskalan.

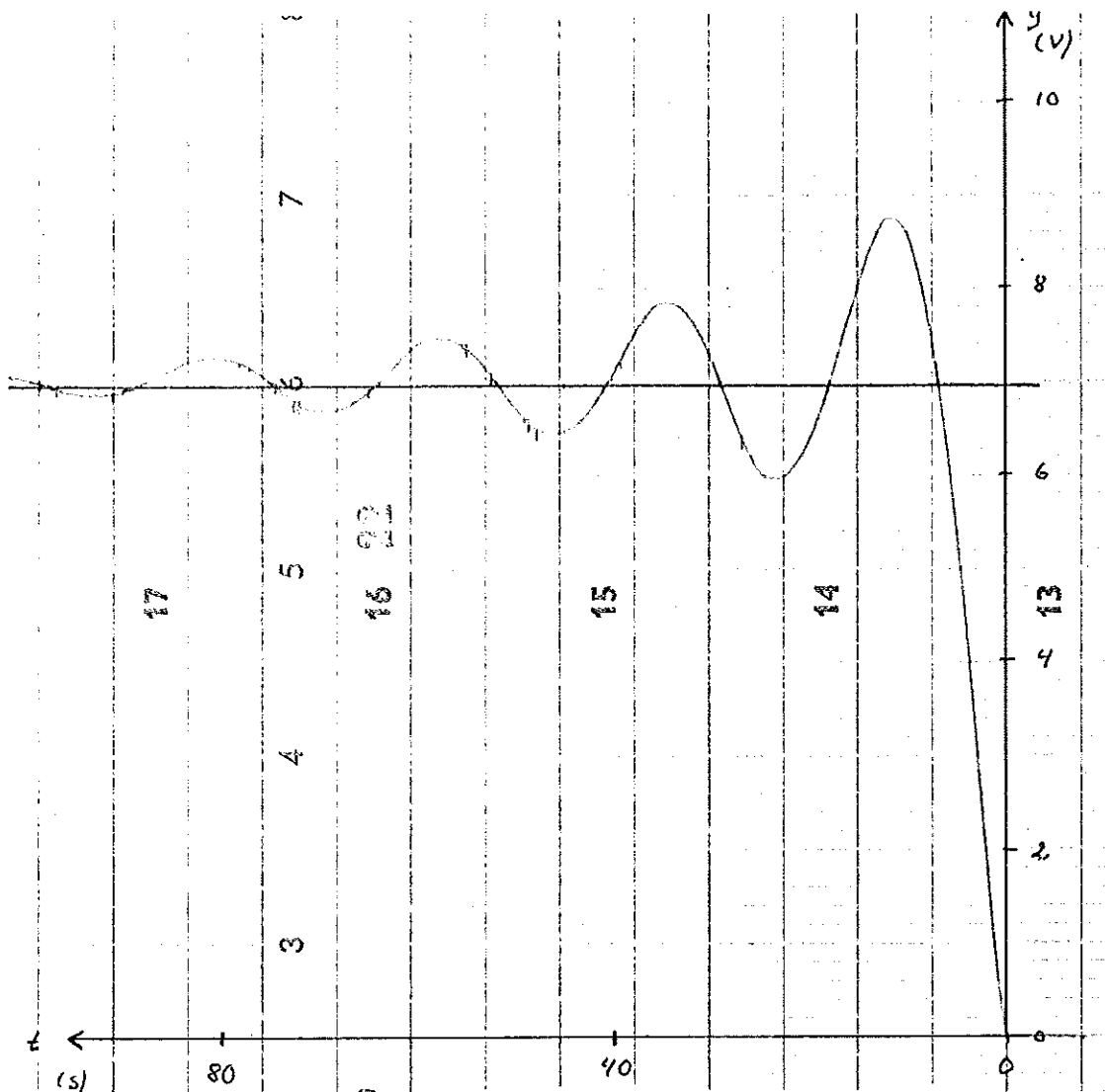
Även här ökar svängningarna med minskande  $T_s$  medan överslängen minskas. Vid  $T_s = 1 \text{ s}$  dör ej svängningen ut. Det finns således en stabilitetsgräns mellan  $T_s = 1 \text{ s}$  och  $T_s = 2 \text{ s}$ .

Överhuvudtaget visar dessa försök att kvotregulatorns inverkan på systemet är i mycket hög grad beroende av samplingstiden. Denna bör alltså vid praktisk tillämpning av kvotregulatorn noga utprovas.



Figur 9

System:  $G_2$   
 $T_s = 1 \text{ s}$   
 $y_r = 7 \text{ V}$   
 $y(0) = 0 \text{ V}$



Figur 10

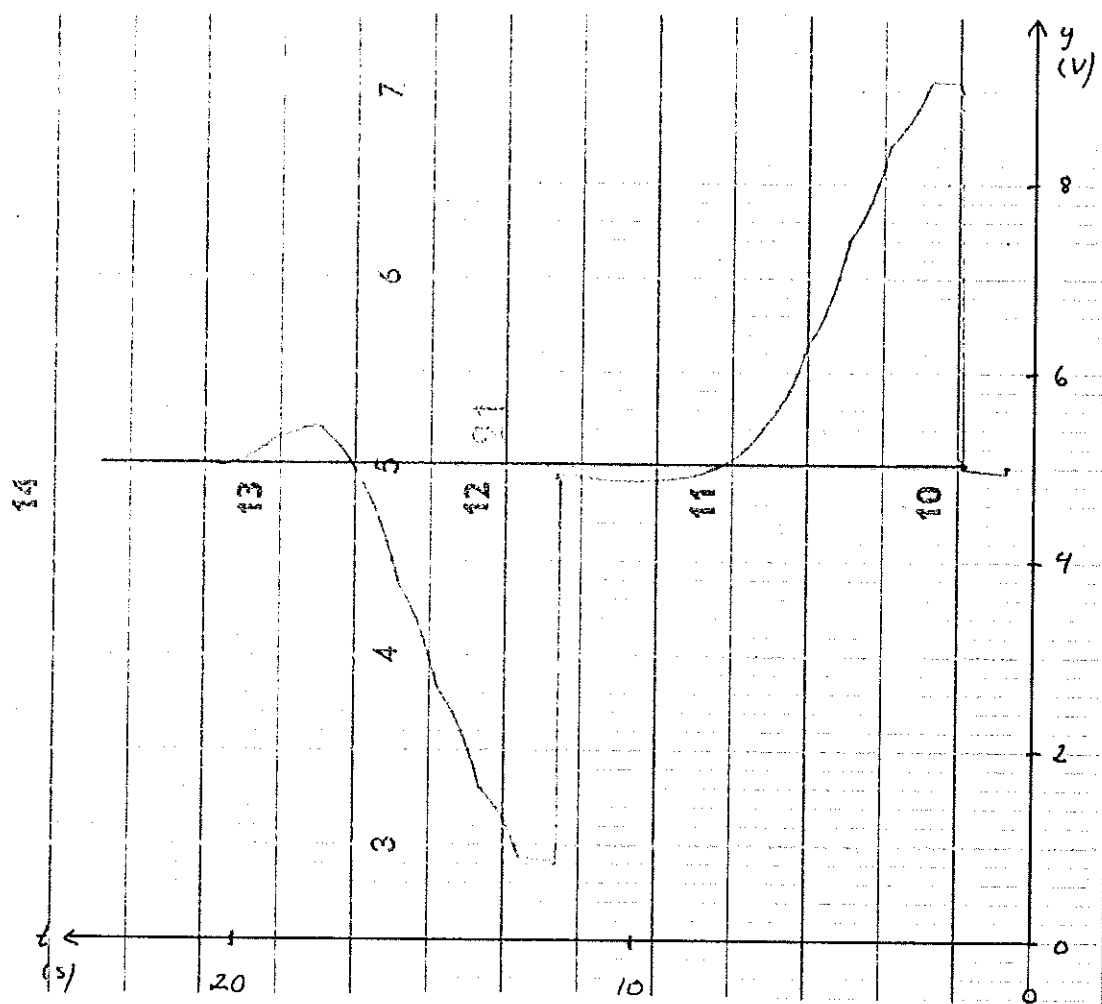
System:  $G_2$   
 $T_s = 2 \text{ s}$   
 $y_r = 7 \text{ V}$   
 $y(0) = 0 \text{ V}$

#### Begränsning av insignalens ändringsmöjligheter

Då utsignalen svänger kraftigt svänger även insignalen ordentligt. Genom att dämpa insignalens svängningsmöjligheter bör även utsignalen "lugnas ner". Rutinen DUB begränsar insignalsändringen till maximalt  $1/4$  av hela intervallet.

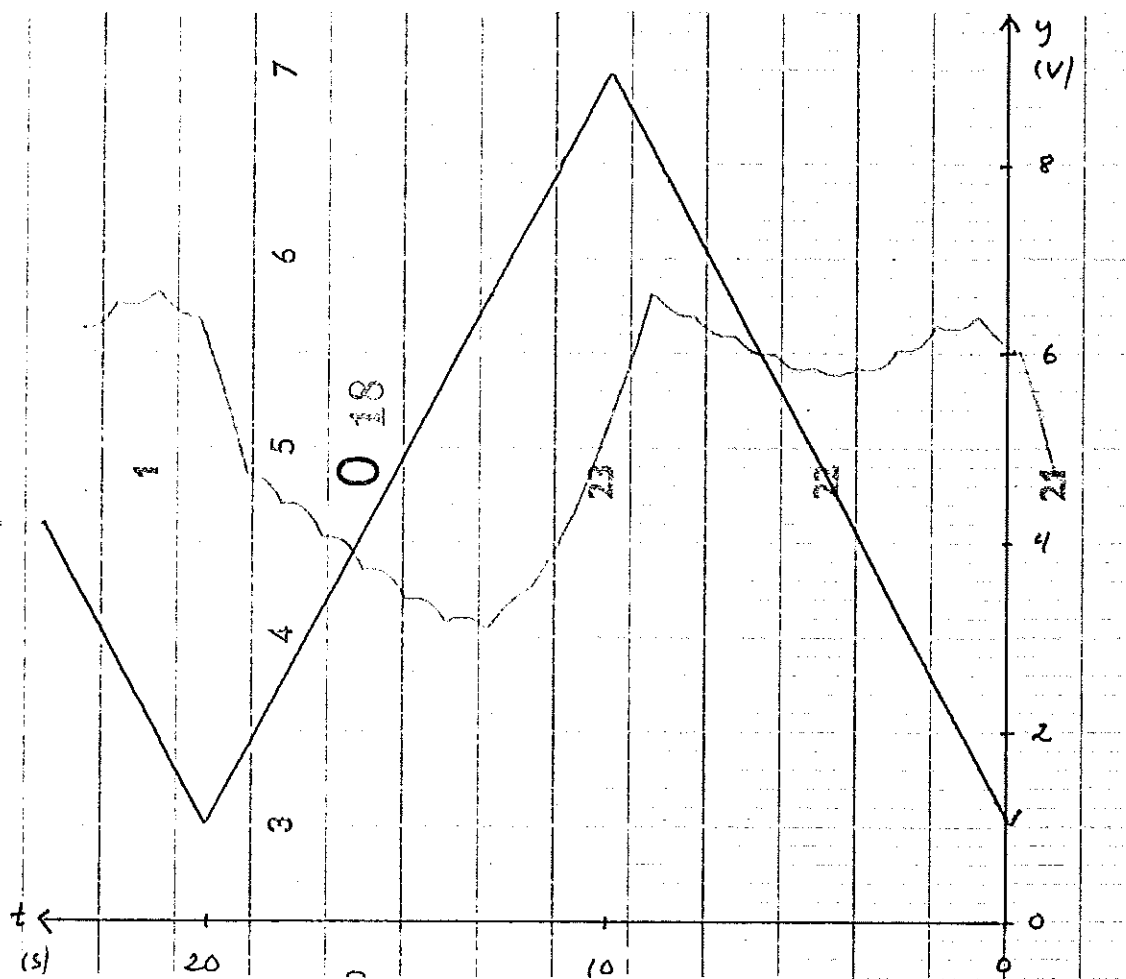
I figur 11 och 12 visas subrutinens inverkan på stegstörning och rampstörning. Figureerna skall jämföras med figur 3' respektive 6 där försöksbetingelserna var desamma. Den största fördelen med begränsningen är den stora nedminskningen av överslängen efter en negativ stegstörning, vilket dock sker på bekostnad av snabbheten i kompenseringen. I övrigt fås endast en något jämnare signal.

Figur 11



Figur 12

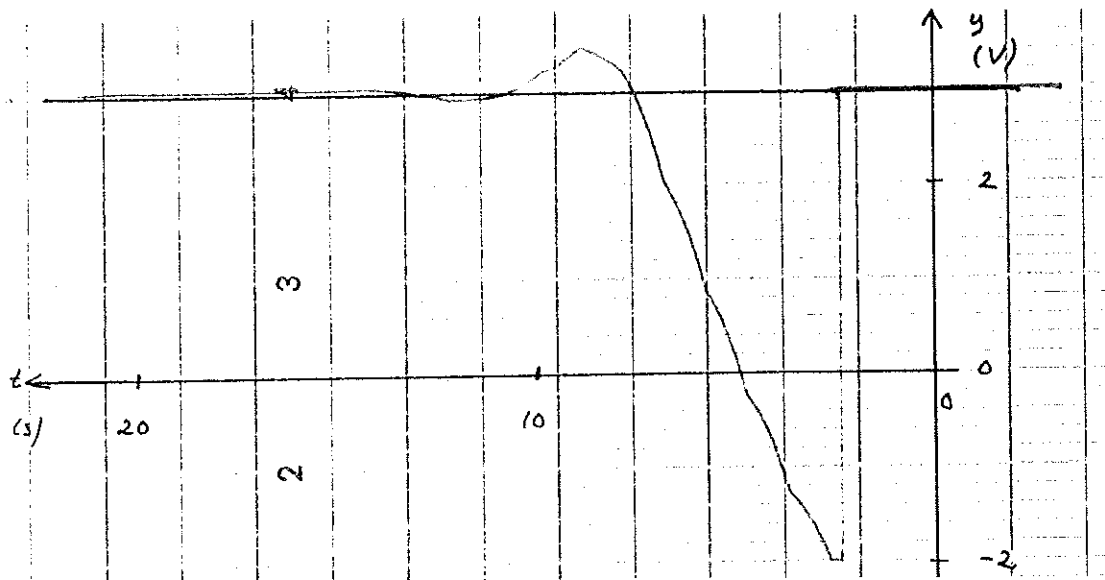
DUB

System:  $G_1$  $T_s = 1 \text{ s}$  $y_r = 5 \text{ V}$ Störning:  $\pm 0,8 \text{ V/s}$ 

### Framkoppling

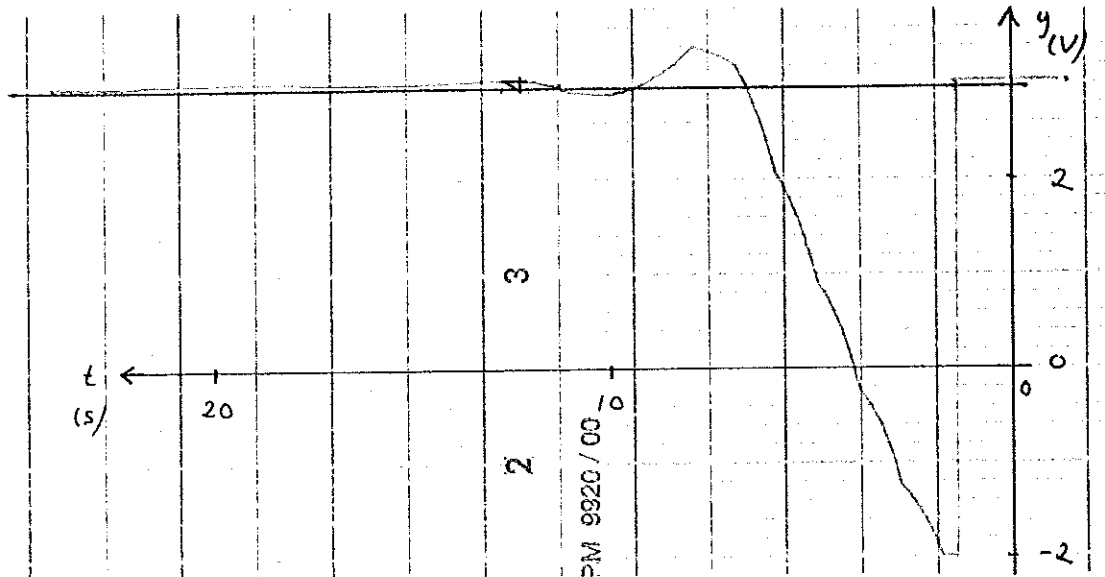
Om utsignalen  $y(t)$  blir negativ vid någon störning fungerar kvotregulatorn ej matematiskt om systemet ej framkopplats enligt figur på sidan 6. I vår uppställning tolkas emellertid ett negativt  $y$  som  $y = 0 \text{ V}$  (på grund av S/F-omv) vilket medför att maximal styrsignal ställs ut. Detta ökar utsignalen så att denna åter kan bli positiv.

Experiment har gjorts med följande förutsättningar: system  $G_1 = \frac{1}{s+1}$ ,  $T_s = 1 \text{ s}$ ,  $y_r = y(0) = 3 \text{ V}$ . En stegstörning på minus 5 V lades på systemet. Resultatet med framkoppling ( $y_o = 3 \text{ V}$ ) respektive utan framkoppling kan studeras i figur 13 och 14. Störningssvaren är nästan identiska. Framkoppling är alltså onödig med vår implementering av kvotregulatorn.



Figur 13

Med framkoppling  
System:  $G_1$   
 $T_s = 1 \text{ s}$   
 $y_r = 3 \text{ V}$   
 $y(0) = 3 \text{ V}$   
Störning: - 5 V  
 $y_o = 3 \text{ V}$

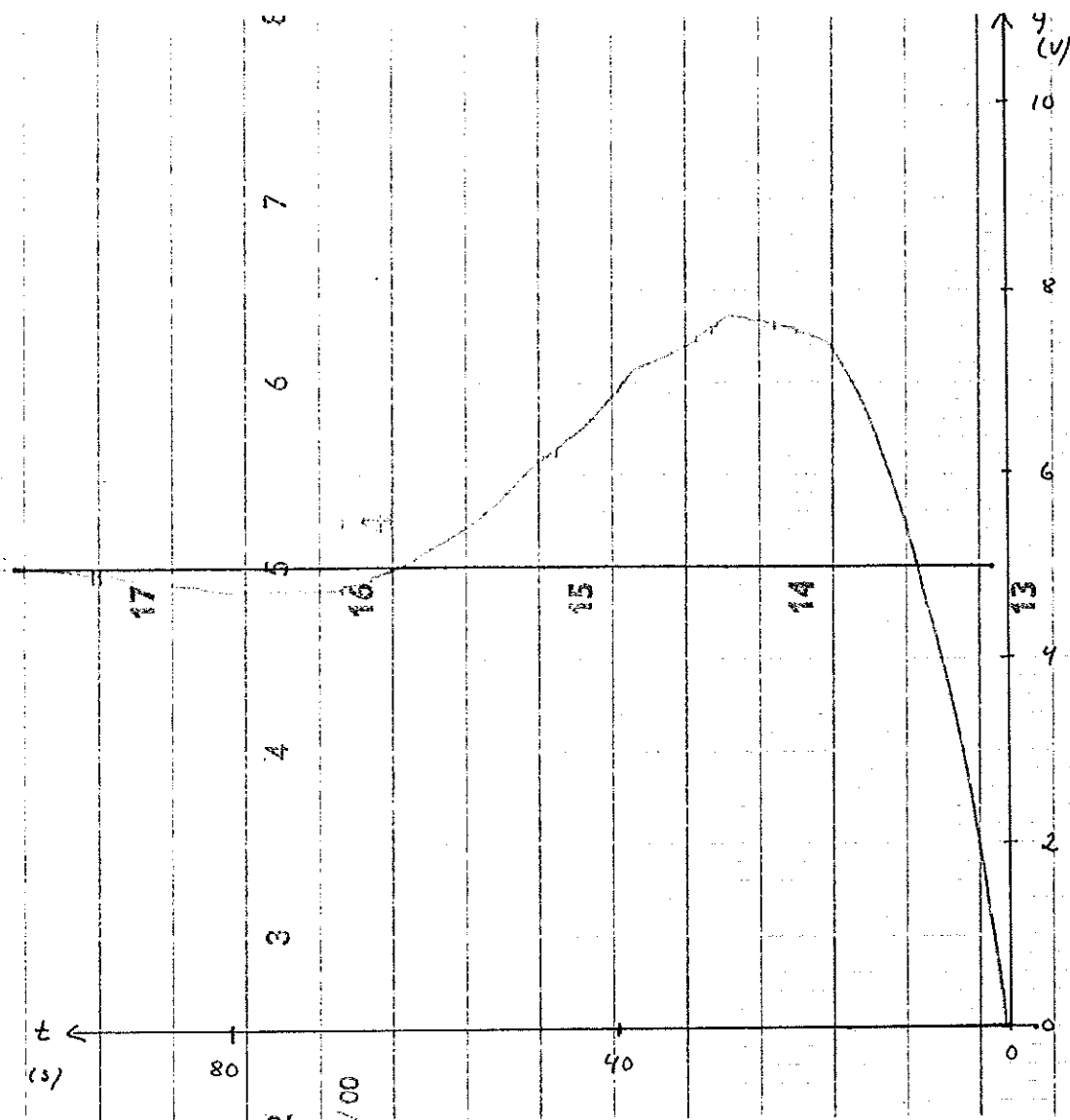


Figur 14

Utan framkoppling  
System:  $G_1$   
 $T_s = 1 \text{ s}$   
 $y_r = 3 \text{ V}$   
 $y(0) = 3 \text{ V}$   
Störning: - 5 V

### Långsamt system

Kvotregulatorn fungerar bäst då styrsignalen sakta ändrar sig med små amplituder från  $u_{\max}/2$ . Långsamma system kräver långa samplingstider för att styrsignalen ej skall göra för kraftiga utslag från mittvärdet och orsaka svängningar. Detta medför att det tar lång tid att nå det stationära tillståndet. Ett exempel ges i figur 15 där systemet är  $G_3 = \frac{1/10}{s+1/10} = \frac{1}{10s+1}$ ,  $T_s = 10$  s,  $y_r = 5$  V och  $y(0) = 0$  V. Observera att tidsskalan är 4 gånger den som används vid övriga försök på 1:a ordningens system. Förutom den långa tid som krävs blir dessutom överslängen enormt stor. Regulatorn fungerar alltså ej bra på långsamma system.



Figur 15

System:  $G_3$   
 $T_s = 10$  s  
 $y_r = 5$  V  
 $y(0) = 0$  V

## II Vattenvärmning

---

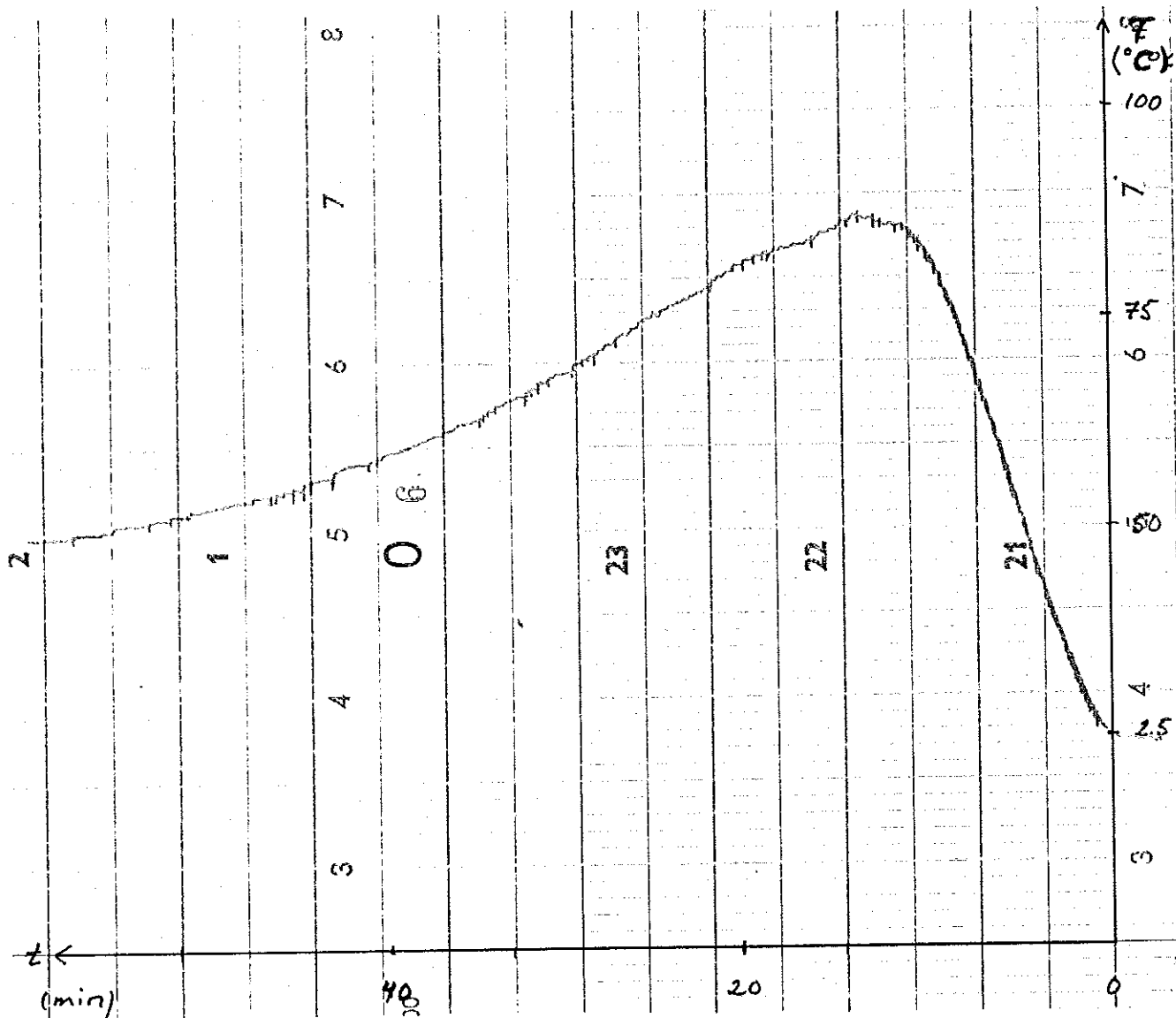
Systemet är i detta fallet  $\frac{1}{2}$  liter vatten i ett kokkärl på en värmeplatta. Systemet är olinjärt och är dessutom olika trögt för uppvärmning respektive avkyllning, dvs det kan karakteriseras med olika tidskonstanter. Dessa är båda stora och vi får samma problem som vid långsamma linjära system.  $T_s$  måste väljas stort för att insignalen ej skall variera för snabbt och orsaka svängningar.

I figur 16 visas hur systemet reagerar vid följande betingelser:  $y_r = 50^\circ\text{C}$ ,  $y(0) = 25^\circ\text{C}$  och  $T_s = 5$  minuter. Vi får en mycket stor översläng och det tar nästan 1 timme innan referensvärdet nås efter densamma. Regulatorn är alltså ej bra för detta system.

Figur 16

System: Vatten i ett kokkärl

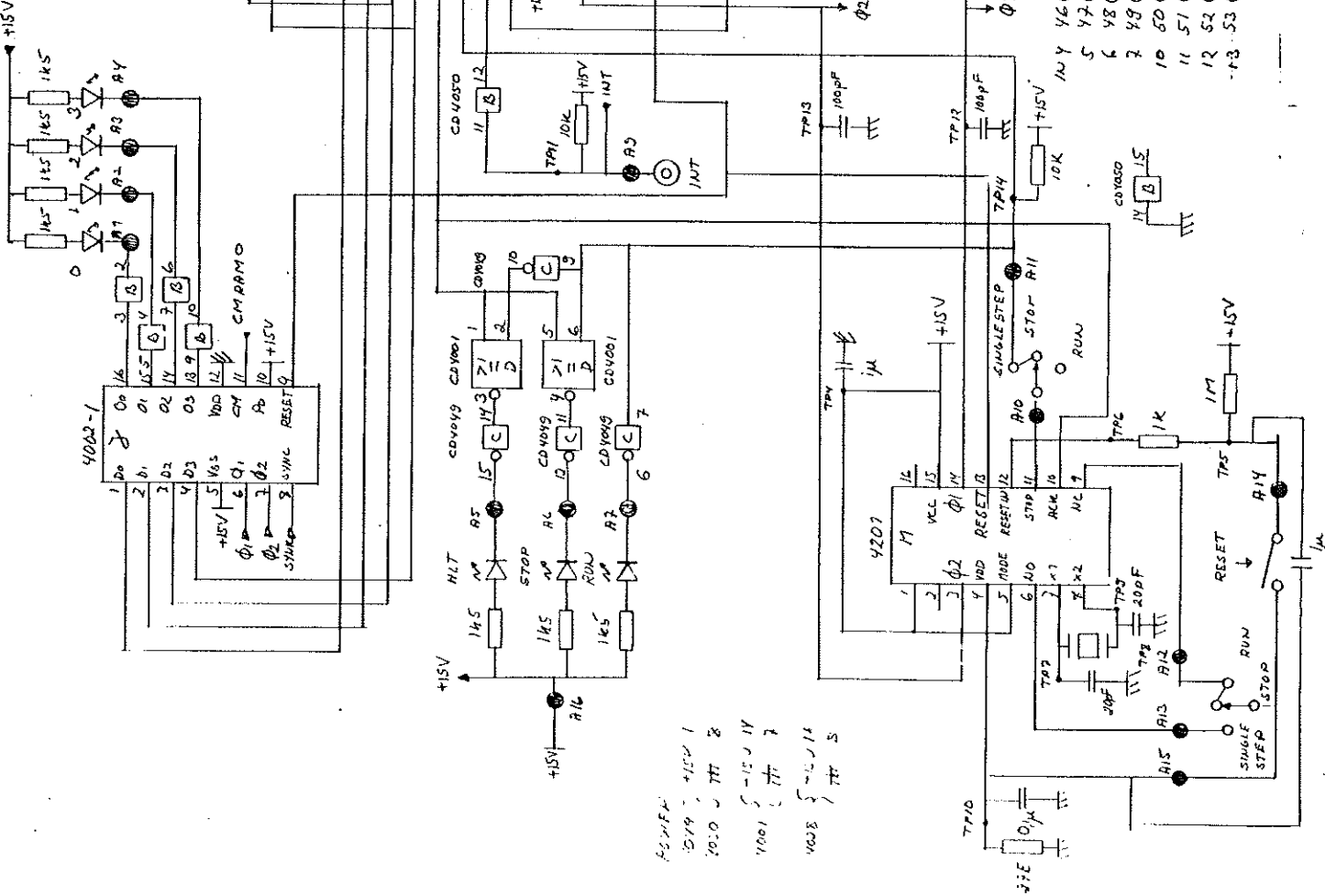
$$T_s = 5 \text{ min} \quad y_r = 50^\circ\text{C} \quad y(0) = 25^\circ\text{C}$$



## 7.

## R E F E R E N S E R

1. Lars Jensen " Digital styrning av klimatprocesser ".
2. INTEL MCS-40 " Users manual ".
3. Motorola, Semiconductor Data Library Volume 5  
" CMOS Integrated Circuits ".
4. P. Wolgast - J. Miszcuk " Programmeringshjälpmaterial för INTEL 4040 ".
5. Hallberg - Danielsson " Digital teknik Del 5-6 ".



## 64-pot contact dot fill pack

2

C-1200

23.8.2018

76-05-65

9-2018 NOV 01

-15V 33  
 JUKKA ISMANN 34  
 -15V 35  
 36  
 37  
 38  
 39  
 40  
 41  
 42  
 43  
 44  
 45  
 IN4 46  
 ING 47  
 ING 48  
 INY 49  
 INJ 50  
 IN9 51  
 IN10 52  
 IN11 53  
 TEST 54  
 φ1 55  
 IN1 56  
 IN1 57  
 IN2 58  
 IN3 59  
 IN102 60  
 IN101 61  
 IN102 62  
 IN103 63  
 JORD101617A0151

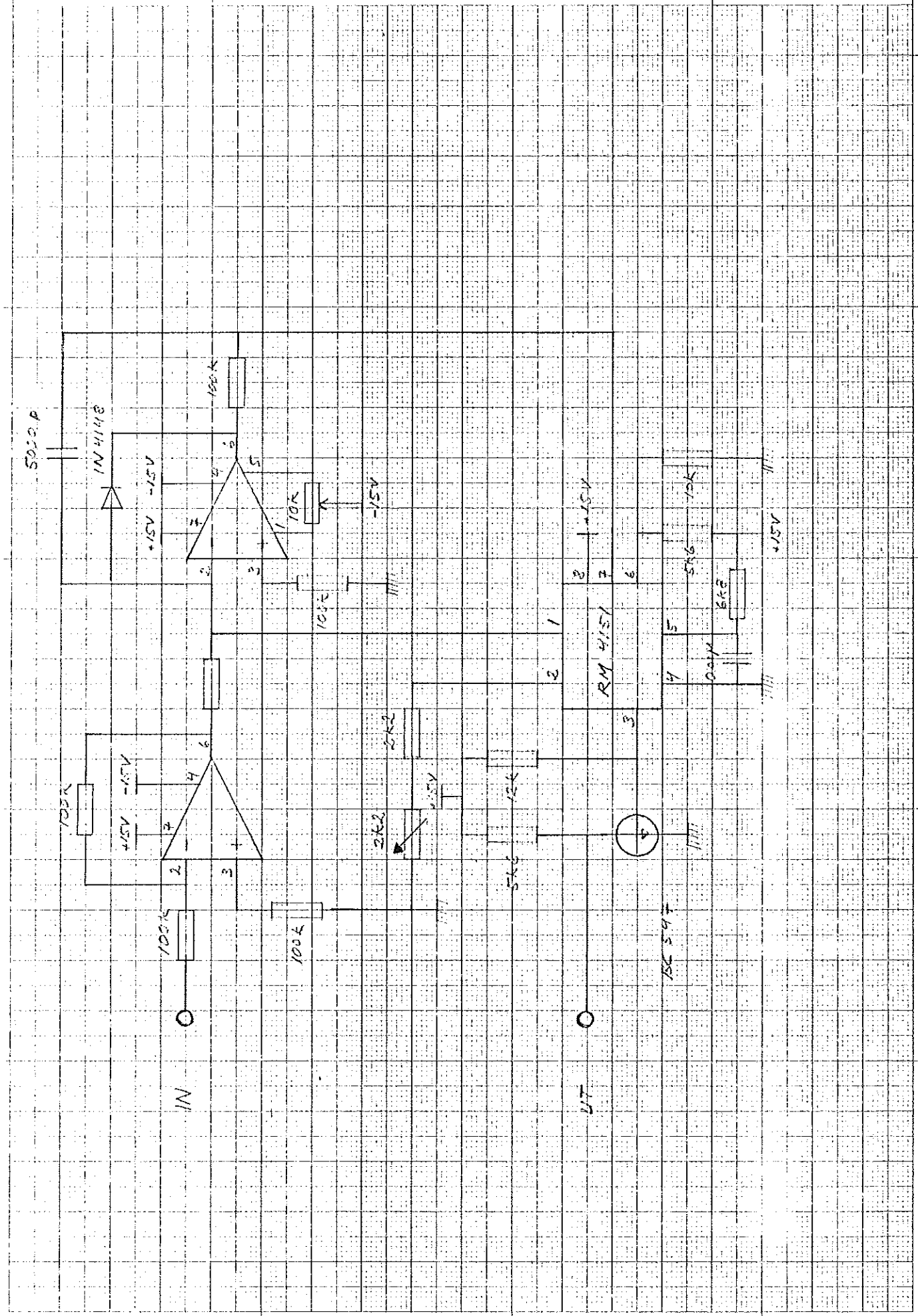
1 OPR5  
 2 OPR2  
 3 OPR1  
 4 OPR6  
 5 OPR3  
 6 OPR4  
 7 OPH1  
 8 OPAQ  
 9 HO  
 10 H1  
 11 H2  
 12 H3  
 13 H4  
 14 H5  
 15 HG  
 16 HY  
 17 HO  
 18 H1  
 19 H2  
 20 H3  
 21 19.2 & 14.2  
 22 19.0 &  
 23 RHESE7  
 24 INT  
 25 19.0  
 26 OUT1  
 27 OUT2  
 28 OUT3  
 29 OUT4  
 30 OUT5  
 31 OUT6  
 32 OUT7

$S/F = \text{conv}$

3

*Rohi Bawali*

$$76 = 0.3 \sim 3.3$$



LTH  
REGLER-  
TEKNIK

MICRODATOR MC5-40

PULSRÄKNARE

IN 1

IN 1

Förslag  
Anders Nilsson

IN 2

CD 4040

CD 4025

R

//

CD 4040

CD 4049

E

S

CD 4049

F

CD 4025

G

CD 4040

H

I

CD 4040

J

K

L

M

N

O

P

Q

R

S

T

U

V

W

X

Y

Z

A

B

C

D

E

F

G

H

I

J

K

L

M

N

O

P

Q

R

S

T

U

V

W

X

Y

Z

CD 4040

LTH

REGELN  
TEKNIK

PULSRÄKNAARE

KRETS LAYOUT

5

760512

Hansler Nilsson

D 2/1 C0 4049 C0 4022 C0 4013 C0 4016

A C0 4049 C0 4022 C0 4013 C0 4016

B C0 4049 C0 4022 C0 4013 C0 4016

C C0 4049 C0 4022 C0 4013 C0 4016

D C0 4049 C0 4022 C0 4013 C0 4016

E C0 4049 C0 4022 C0 4013 C0 4016

F C0 4049 C0 4022 C0 4013 C0 4016

G C0 4049 C0 4022 C0 4013 C0 4016

H C0 4049 C0 4022 C0 4013 C0 4016

I C0 4049 C0 4022 C0 4013 C0 4016

J C0 4049 C0 4022 C0 4013 C0 4016

K C0 4049 C0 4022 C0 4013 C0 4016

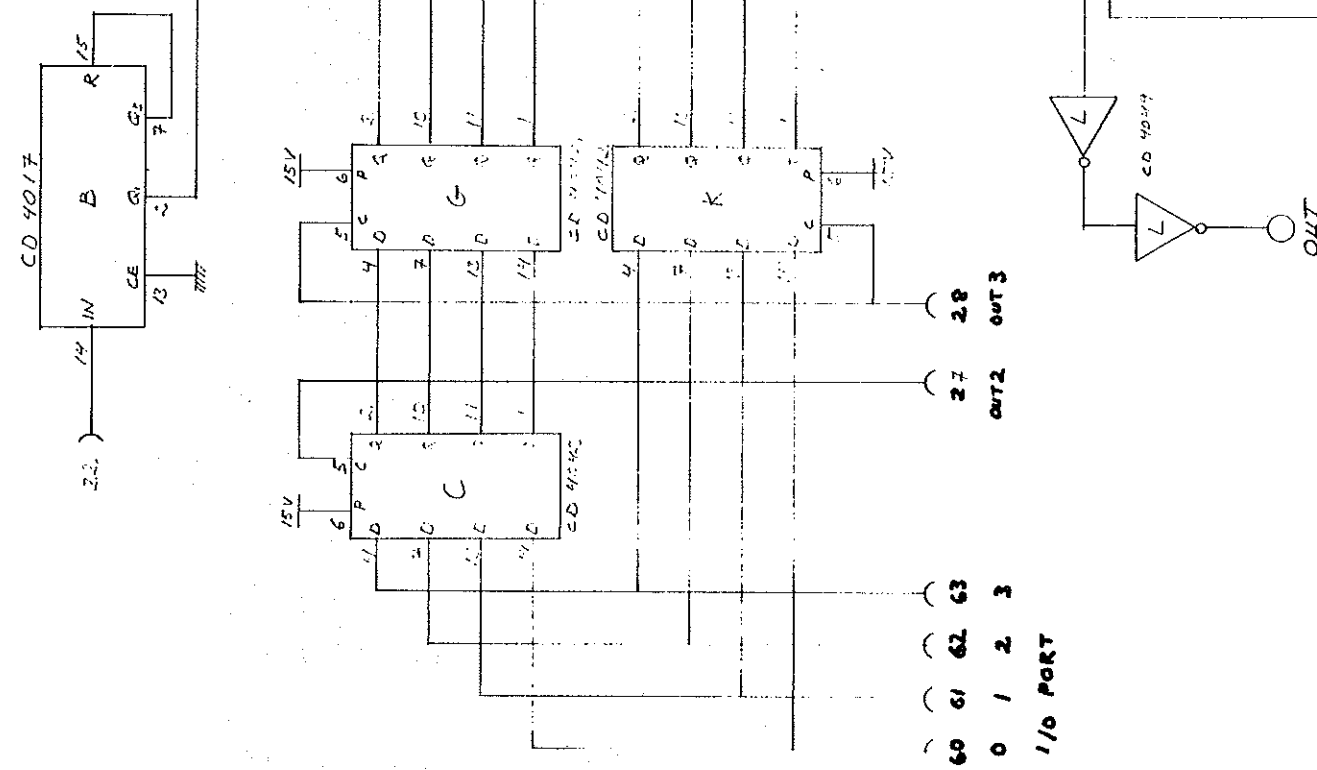
L C0 4049 C0 4022 C0 4013 C0 4016

M C0 4049 C0 4022 C0 4013 C0 4016

N C0 4049 C0 4022 C0 4013 C0 4016

LTH  
REGLER-  
TEKNIK

MIKRODATOR  
PULSLÄNDSGIVARE



	POWER +15V
CD 4017	CD 4001
CD 4040	CD 4012
CD 4013	CD 4013
CD 4012	CD 4012
CD 4001	CD 4001
CD 4017	CD 4017

	POWER +15V
F6 05/12	CD 4017
Brötös Al/Åsön	CD 4040

LTH  
REF. & T.E.  
TEKNIK

# PULSLÄNGDENS SÄFVERE KRETSLAYOUT

760512.  
Hansens Nilsson

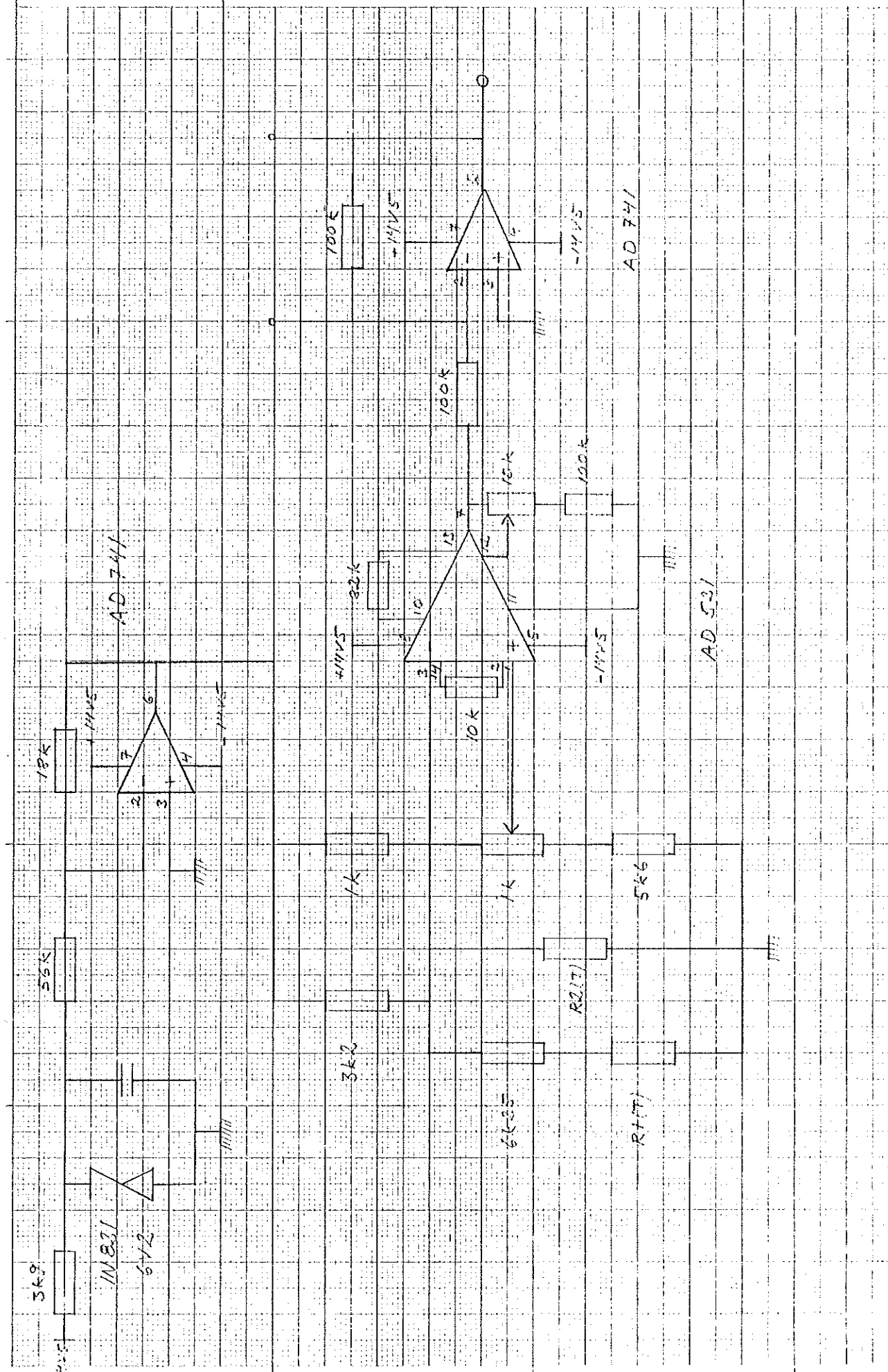
LTH  
REGLER-  
TEKNIK

TERMISTON BRYGGA

8

26.05.14.

Göteborg 16.05.2014

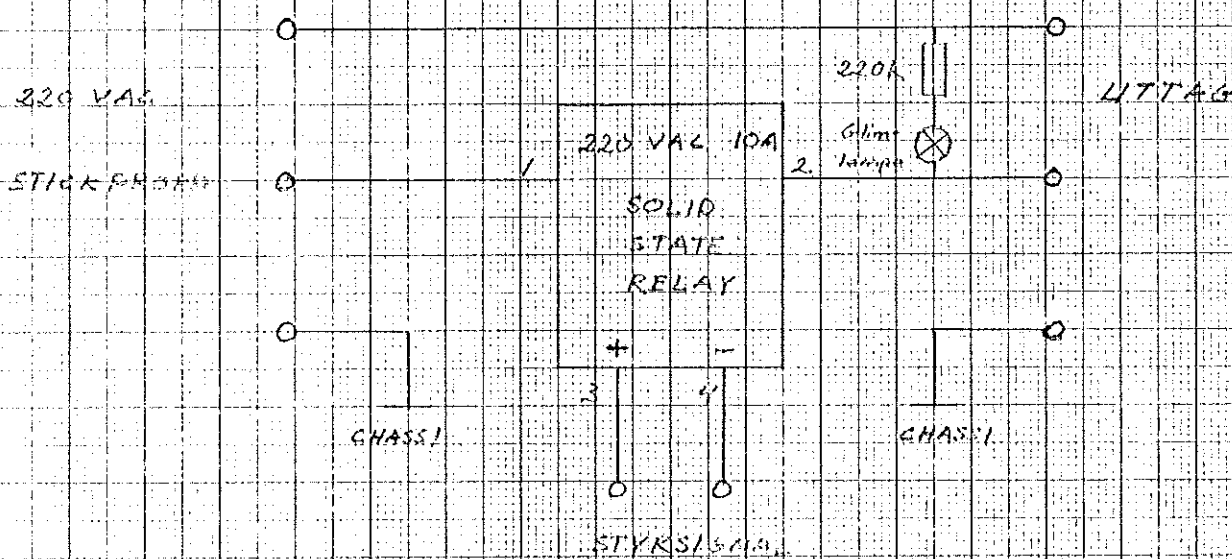


LTH  
REGELA  
TERMINAL

EFFECTREGLATOR

76-05-13  
Anders Nilsson

9



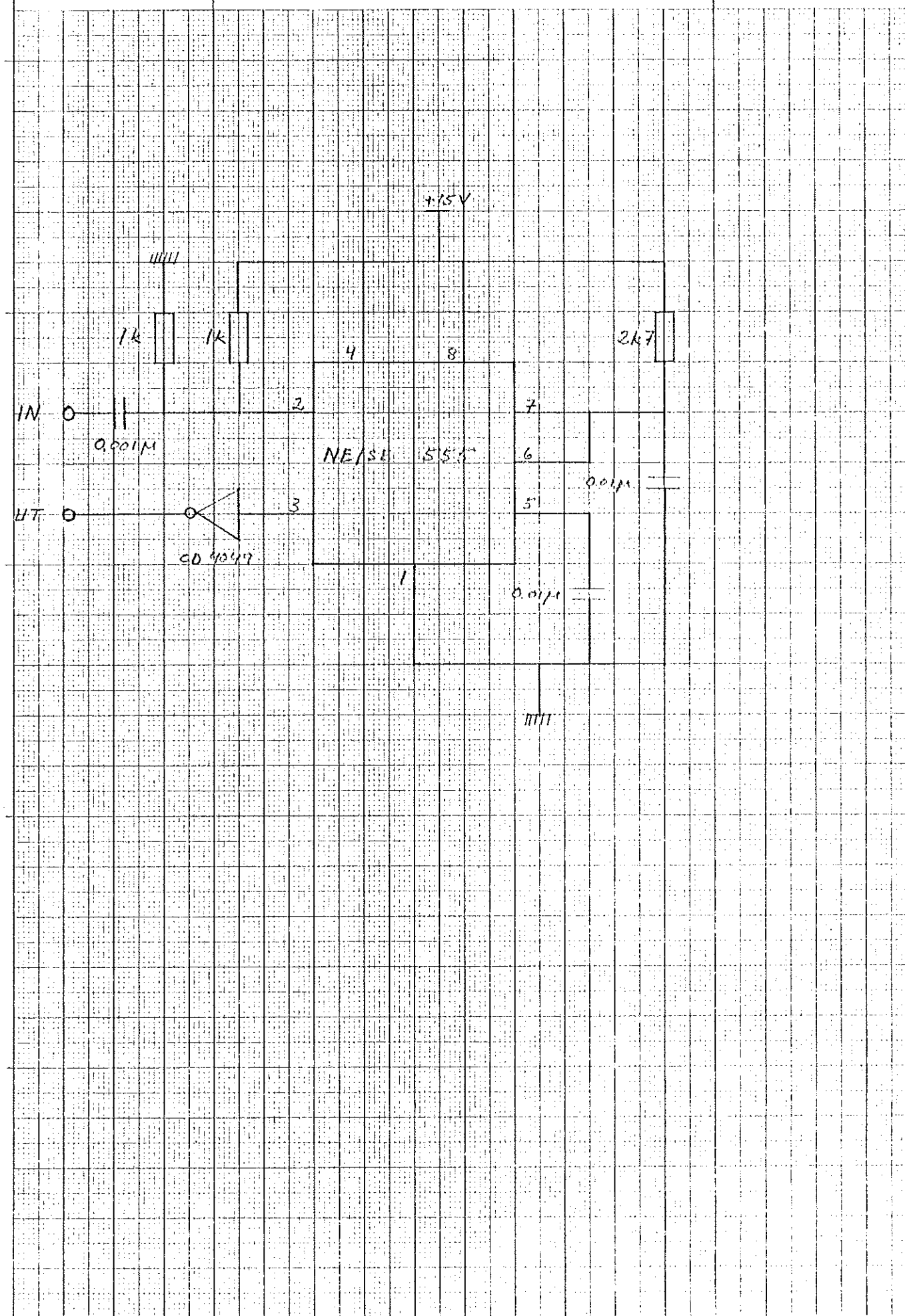
LTH  
REGLER-  
TEKNIK

MONOVIBRATOR

10

76-05-15

Arbete: Arb. 209



## 4040 AND 4004 BASIC INSTRUCTION SET

[Those instructions preceded by an asterisk (\*) are 2 word instructions that occupy 2 successive locations in ROM.]

### MACHINE INSTRUCTIONS (Logic 1 = Low Voltage - Negative Voltage - Ground)

INSTRUCTION	OPA				OPB				OPC			
	D <sub>3</sub>	D <sub>2</sub>	D <sub>1</sub>	D <sub>0</sub>	D <sub>3</sub>	D <sub>2</sub>	D <sub>1</sub>	D <sub>0</sub>	D <sub>3</sub>	D <sub>2</sub>	D <sub>1</sub>	D <sub>0</sub>
<b>DESCRIPTION OF OPERATION</b>												
NOP	0	0	0	0	0	0	0	0	0	0	0	0
*JCN	0	0	1	0	C <sub>1</sub>	C <sub>2</sub>	C <sub>3</sub>	C <sub>4</sub>	A <sub>1</sub>	A <sub>2</sub>	A <sub>3</sub>	A <sub>4</sub>
JCN	0	0	1	0	A <sub>1</sub>	A <sub>2</sub>	A <sub>3</sub>	A <sub>4</sub>	Branch to Address A <sub>1</sub> -A <sub>4</sub> location in memory. Then increment the program counter by two locations. (Do not increment the program counter in memory.)			
LEA	1	0	0	0	R	R	R	R	Push immediate (direct) from ROM D <sub>0</sub> , D <sub>1</sub> to index register pair location R(2).			
SNC	0	0	1	0	R	R	R	R	Send Register Content of Index Register pair to ROM and RAM at X <sub>2</sub> and X <sub>3</sub> terms in the instruction cycle.			
FIN	0	0	1	1	R	R	R	R	Fetch contents of ROM and RAM into index register pair location C due to index register pair selected by the previously selected RAM status character.			
JPS	0	0	1	1	R	R	R	R	Jump indirect. Send contents of Register pair RAM due to an address at X <sub>1</sub> and X <sub>2</sub> term in the instruction cycle.			
*JDN	1	0	0	0	A <sub>1</sub>	A <sub>2</sub>	A <sub>3</sub>	A <sub>4</sub>	Jump unconditional to ROM address A <sub>2</sub> -A <sub>4</sub> .			
*JNC	0	1	0	1	A <sub>1</sub>	A <sub>2</sub>	A <sub>3</sub>	A <sub>4</sub>	Jump to subroutine ROM address A <sub>2</sub> -A <sub>4</sub> , save old address (Do 1 term in stack.)			
INC	0	1	0	0	R	R	R	R	Increment contents of Register RAM. Go to ROM address A <sub>2</sub> -A <sub>4</sub> . Leave the same ROM location the (128 instructions) if present.			
*SIZ	0	1	1	1	R	R	R	R	Subtract contents of Register RAM. Go to ROM address A <sub>2</sub> -A <sub>4</sub> . Leave the same ROM location the (128 instructions) if present.			
ADD	1	0	0	0	R	R	R	R	Add contents of Register RAM to accumulator with carry.			
SUB	1	0	0	1	R	R	R	R	Subtract contents of Register RAM to accumulator with borrow.			
LD	1	0	1	0	R	R	R	R	Load contents of Register RAM to accumulator.			
ADH	1	0	1	1	R	R	R	R	Exchange contents of index register RAM and accumulator.			
BLI	1	1	0	0	D	D	D	D	Branch back (down) 1 level in stack) and load data DDD0 to accumulator.			
LDA	1	1	0	1	D	D	D	D	Load data DDD0 to accumulator.			

### NEW 4040 INSTRUCTIONS

INSTRUCTION	OPA				OPB				OPC			
	D <sub>3</sub>	D <sub>2</sub>	D <sub>1</sub>	D <sub>0</sub>	D <sub>3</sub>	D <sub>2</sub>	D <sub>1</sub>	D <sub>0</sub>	D <sub>3</sub>	D <sub>2</sub>	D <sub>1</sub>	D <sub>0</sub>
<b>DESCRIPTION OF OPERATION</b>												
HLT	0	0	0	0	0	0	0	0	0	0	0	0
BES	0	0	0	1	0	1	0	0	Branch back from interrupt and return to the previous SPC. The Program Counter and index register content are restored to their pre-interrupt value.			
LCR	0	0	0	0	0	0	1	1	The contents of the COMMAND REGISTER are transferred to the ACCUMULATOR.			
DR4	0	0	0	0	0	0	0	0	The 4 bit contents of Register are logically "OR-ed" with the ACCUMULATOR.			
DR5	0	0	0	0	0	0	1	0	The 4 bit contents of Register are logically "OR-ed" with the ACCUMULATOR.			
ANR	0	0	0	1	0	1	1	0	The 4 bit contents of Register are logically "AND-ed" with the ACCUMULATOR.			
AN7	0	0	0	1	0	1	1	1	The 4 bit contents of Register are logically "NOT-ed" with the ACCUMULATOR.			
DB0	0	0	0	1	0	0	0	0	Designate ROM BANK 0 CHROMO, DECIMAL ENCODE.			
DB1	0	0	0	1	0	0	1	0	Designate ROM BANK 1, CHROMO, DECIMAL ENCODE.			
SBO	0	0	0	0	1	0	1	0	SELECT INDEX REGISTER BANK 0. The index register 0, 7.			
SEN	0	0	0	0	1	0	1	1	SELECT INDEX REGISTER BANK 1. The index register 0, 7.			
ENB	0	0	0	1	0	0	0	1	ENABLE INTERRUPT.			
DI	0	0	0	1	1	0	1	0	DISABLE INTERRUPT.			
PPW	C	C	C	C	1	1	1	0	READ PROGRAM MEMORY			

- (1) The condition C<sub>1</sub>-C<sub>4</sub> is assumed as follows:
- C<sub>1</sub> = 1      Jmp to jump condition
  - C<sub>1</sub> = 0      No invert jump condition
  - C<sub>2</sub> = 1      Jump if accumulator is zero
  - C<sub>3</sub> = 1      Jump if carry/link is 1
  - C<sub>4</sub> = 1      Jump if test signal is 0

- (2) RR4 is the address of 1 of 8 index register pairs in the CPU.

- (3) RR4 is the address of 1 of 16 index registers in the CPU.
- (4) Each RAM chip has 4 registers, each with twenty 4-bit characters subdivided into 16 main memory characters and 4 status characters. Chip number, RAM register and main memory character are addressed by an SRC instruction. For the selected chip and register, however, status character locations are selected by the instruction code (OPA).

PAGE	KVOTR	SRC	KVOTR
1			
2			
3			
4	00000 R		KVUTR
5	00000 R	000100 A	*G
6	00001 R	000005 R	*G
7	00002 R	000000 A	
8	00003 R	000321 A	*G
9	00004 R	000002 A	
10			BBS
11			/MAIN PROGRAM
12	00005 R		REG
13	00005 R	000040 A	*G
14	00006 R	000000 A	*G
15			LDM 10 /LOAD U=10000000 INTO STATUS CHARACTER 2 AND 3 IN THE RAM
16	00007 R	000330 A	*G
17	00010 R	000346 A	
18	00011 R	000360 A	
19	00012 R	000347 A	
20	00013 R	000042 A	*G
	00014 R	000120 A	*G
			LODP
			FIM R2,120
			/R2=5
			FIM R4,140
			/R4=6
	00015 R	000044 A	*G
	00016 R	000140 A	*G
	00017 R	000046 A	*G
	00020 R	000100 A	*G
			EJECT

PAGE	2	KVOTR	SRC	KVOTR	
21		00021	R 000047	A *G	SRC R6 /LET THE PULSE COUNTER COUNT FOR 100 MS
22		00022	R 000342	A	WRR
23		00023	R 000120	A *G	JMS ETS
24		00024	R 000137	R *G	SRC R2
25		00025	R 000043	A *G	WRR
26		00026	R 000342	A	RDR
27		00027	R 000352	A	SRC RO
28		00030	R 000041	A *G	WRD
29		00031	R 000344	A	SRC R4
30		00032	R 000045	A *G	RDR
31		00033	R 000352	A	SRC RO
32		00034	R 000041	A *G	WR1 /WRITE THEM INTO STATUS CHARACTER 1
33		00035	R 000345	A	SRC RO /<RO,R1>=YR
34		00036	R 000041	A *G	RD0
35		00037	R 000354	A	XCH RO
36		00040	R 000260	A *G	RDI
37		00041	R 000355	A	XCH R1
38		00042	R 000261	A *G	RD2 /<R2,R3>=U
39		00043	R 000356	A	XCH R2
40		00044	R 000262	A *G	RD3
41		00045	R 000357	A	XCH R3
42		00046	R 000263	A *G	JMS MULTH /<R4,R5,R6,R7>=YR*()
43		00047	R 000120	A *G	
		00050	R 000156	E *G	
					*EJECT

PAGE 3

KVOTR SRC KVOTR

44

00051 R 000042 A \*G  
00052 R 000060 A \*G

FIM R2,060

/R2=3

45

00053 R 000054 A \*G  
00054 R 000100 A \*G

FIM R12,100

/R12=4

46

00055 R 000056 A \*G  
00056 R 000120 A \*G

FIM R14,120

/R14=5

47

00057 R 000055 A \*G  
00060 R 000342 A

SRC R12 /LET THE PULSE COUNTER COUNT FOR 100 MS

WRR  
SRC R2 /READ Y ON INPUT IN 2 AND PUT IT INTO <R0,R1>

48

00061 R 000120 A \*G  
00062 R 000137 R \*G

JMS ETS

49

00063 R 000057 A \*G  
00064 R 000342 A

WRR  
SRC R2 /READ Y ON INPUT IN 2 AND PUT IT INTO <R0,R1>

50

00065 R 000043 A \*G  
00066 R 000352 A

WRR  
SRC R2 /READ Y ON INPUT IN 2 AND PUT IT INTO <R0,R1>

51

00067 R 000260 A \*G

WRR  
SRC R2 /READ Y ON INPUT IN 2 AND PUT IT INTO <R0,R1>

52

00068 R 000261 A \*G

WRR  
SRC R2 /READ Y ON INPUT IN 2 AND PUT IT INTO <R0,R1>

53

00070 R 000055 A \*G  
00071 R 000352 A

WRR  
SRC R2 /READ Y ON INPUT IN 2 AND PUT IT INTO <R0,R1>

54

00072 R 000261 A \*G

WRR  
SRC R2 /READ Y ON INPUT IN 2 AND PUT IT INTO <R0,R1>

55

00073 R 000120 A \*G  
00074 R 000154 E \*G

WRR  
SRC R2 /READ Y ON INPUT IN 2 AND PUT IT INTO <R0,R1>

56

00075 R 000246 A \*G

WRR  
SRC R2 /READ Y ON INPUT IN 2 AND PUT IT INTO <R0,R1>

57

00076 R 000034 A \*G  
00077 R 000105 R \*G

WRR  
SRC R2 /READ Y ON INPUT IN 2 AND PUT IT INTO <R0,R1>

EJECT

PAGE	4	KVOTR	SRC	KVCTR	
62				LD R7	
63	00100	R	000247	A *G	JFZ B
64	00101	R	0003034	A *G	IAC
65	00102	R	000105	R *G	XCH R7
66	00103	R	000362	A	
67	00104	R	000267	A *G	
68	00105	R	000120	A *G	R
69	00106	R	000155	E *G	JMS DUR
70	00107	R	000040	A *G	
71	00110	R	000000	A *G	FIM R0,0
72	00111	R	000042	A *G	
73	00112	R	000040	A *G	FIM R2,040
74	00113	R	000044	A *G	/R2=2
75	00114	R	000060	A *G	/R4=3
76	00115	R	000041	A *G	SRC R0 /LOAD U INTO STATUS CHARACTERS 2 AND 3
77	00116	R	000247	A *G	LD R7
78	00117	R	000347	A	WR3 LD R6
79	00120	R	000246	A *G	
80	00121	R	000346	A	WR2 SRC R2 /SEND U TO THE OUTPUT MONUL
81	00122	R	000043	A *G	WR2 LD R7
82	00123	R	000342	A	WR2 SRC R4
83	00124	R	000247	A *G	WR2 EJECT

PAGE	KVOTR	SRC	KVOTR	
81	00127	R 000014 A	EIN	/WAIT FOR INTERRUPT
82	00130	R 000360 A	CLR	/AC=0
83	00131	R 000000 A	NOP	
84			JT2 D	/IF AC=0 THEN GO TO D ELSE GO TO NEXT INSTRUCTION
85	00132	R 000024 A *G		
86	00133	R 000131 R *G	DIN	
	00134	R 000015 A	JUN LOOP	
87	00135	R 000100 A *G		
88	00136	R 000013 R *G		
89			/ DELAY SUBROUTINE	
90	00137	R 000050 A *G	ETS	/ THIS SUBROUTINE LASTS FOR 100 MS
	00137	R 000050 A *G		
91	00140	R 000000 A *G	FIM R10,0	
92	00141	R 000052 A *G		
	00142	R 000006 A *G	ISZ R8,C	
92	00143	R 000170 A *G	C	
	00144	R 000143 R *G	ISZ R9,C	
93	00145	R 000171 A *G		
	00146	R 000143 R *G	ISZ R10,C	
94	00147	R 000172 A *G		
	00150	R 000145 R *G	MOP	
95	00151	R 000000 A	NOP	
96	00152	R 000000 A	NOP	
97	00153	R 000300 A *G	PRBL 0	
98	00154	R 000000 A *G	.END	
	00154	R 000154 E *F		
	00155	R 000155 E *F		
	00156	R 000156 E *F		
	SIZE=00157	NO ERROR LINES		

PAGE 1 MULTH SRC MULTH

1  
2  
3 00000 R 000044 A \*G MULTH  
00001 R 000000 A \*G FIM  
4 00002 R 000046 A \*G R6,0  
00003 R 000000 A \*G

5  
00004 R 000241 A \*G \*G  
00005 R 000272 A \*G \*G  
00006 R 000243 A \*G \*G  
00007 R 000273 A \*G \*G  
00010 R 000120 A \*G  
00011 R 000103 R \*G

CHANGE R1,R3,R10,R11 /R1 OCH R3 LAGGS + R10 OCH R11

/OCH MULTA ANROPAS SOM MULTIPLICERAR  
/R10 OCH R11 OCH LAGGER RESULTATET  
/RA OCH R9.

6  
7  
8 LD P9  
9  
10 00012 R 000251 A \*G XCH P7  
00013 R 000257 A \*G LD RD  
11 00014 R 000250 A \*G XCH R6  
12 00015 R 000266 A \*G  
13 .EJECT

PAGE 2 MULTH SRC MULTH

14

CHANGE R1,R2,R10,R11 /B\*C ADDERAS TILL R5 OCH R6

00016 R 000241 A \*G  
00017 R 000272 A \*G  
00020 R 000242 A \*G

00021 R 000273 A \*G  
00022 R 000120 A \*G  
00023 R 000103 R \*G

15  
16

00024 R 000250 A \*G

LD  
R6

17  
18

00025 R 000265 A \*G

XCH  
R5

19  
20

00026 R 000246 A \*G  
00027 R 000361 A

LD  
GLC  
ADD  
R7

21  
22

00030 R 000211 A \*G  
00031 R 000266 A \*G

XCH  
R6  
NUCY1

23  
24

00032 R 000032 A \*G  
00033 R 000035 R \*G  
00034 R 000145 A \*G

JFC  
INC  
R5  
/INGEN CARRY TILL R4 MUL. LG, STORSTA  
•EJECT

PAGE 3 MULTH SRC MULTH

25  
26

00035 R \*G  
00035 R 000240 A \*G  
00036 R 000272 A \*G  
00037 R 000243 A \*G  
00040 R 000273 A \*G  
00041 R 000120 A \*G  
00042 R 000103 R \*G

NOCY1 CHANGE RD,R3,R16,S11 /ADD AND ADDRESS TILL R5 OCH RE.

27  
28  
29

00043 R 000246 A \*G  
00044 R 000361 A CLC  
00045 R 000211 A ADD A

R6  
LD  
R9

30  
31  
32  
33  
34

00046 R 000266 A \*G  
00047 R 000032 A \*G  
00050 R 000053 R \*G  
00051 R 000361 A SLC  
00052 R 000145 A \*G

R5  
NOCY2  
JFC  
R6  
XCH  
R5  
/MIGEN RISK ATT R5 BLIP 0.  
•EJECT

/MIGEN RISK ATT R5 BLIP 0.  
PAGE 3 MULTH SRC MULTH  
25  
26  
00035 R \*G  
00035 R 000240 A \*G  
00036 R 000272 A \*G  
00037 R 000243 A \*G  
00040 R 000273 A \*G  
00041 R 000120 A \*G  
00042 R 000103 R \*G  
00043 R 000246 A \*G  
00044 R 000361 A CLC  
00045 R 000211 A ADD A  
00046 R 000266 A \*G  
00047 R 000032 A \*G  
00050 R 000053 R \*G  
00051 R 000361 A SLC  
00052 R 000145 A \*G  
NOCY1 CHANGE RD,R3,R16,S11 /ADD AND ADDRESS TILL R5 OCH RE.  
R6  
LD  
R9  
R5  
NOCY2  
JFC  
R6  
XCH  
R5  
/MIGEN RISK ATT R5 BLIP 0.  
•EJECT

PAGE	4	MULTH	SRC	MULTH	
35		00053 R			
36		00053 R	000245 A	*G NOCY2	LD R5
37		00054 R	000240 A	*G	ADD R8
38		00055 R	000265 A	*G	XCH R5
39		00056 R	000032 A	*G	JFC NOCY3
40		00057 R	000061 R	*G	INC R4
		00060 R	000144 A	*G	
		00061 R	000240 A	*G	
		00062 R	000272 A	*G	
		00063 R	000242 A	*G	
		00064 R	000273 A	*G	
		00065 R	000120 A	*G	
		00066 R	000103 R	*G	
41		00067 R	000361 A		CLC LD R3
42		00070 R	000250 A	*G	
43		00071 R	000204 A	*G	ADD R4
44		00072 R	000264 A	*G	XCH R4
45		00073 R	000245 A	*G	LD R5
46		00074 R	000361 A		CLC ADD R9
47		00075 R	000211 A	*G	
48		00076 R	000265 A	*G	XCH PS
49		00077 R	000032 A	*G	JFC OUT
50		00100 R	000102 R	*G	INC R4
51		00101 R	000144 A	*G	
52		00102 R	000300 A	*G	BL 0 OUT

/A\*C ADDERAS TILL R4 OCH R5.

PAGE	5	MULTH	SRC	MULTH						
53		00103	R	000054	A	*G	MULT4	F14	P8,0	/MULT4 MULTIPLIGERAR 2 4-3 ITAS TAL
54		00103	R	000050	A	*G				
55		00104	R	000000	A	*G				
56										
57		00105	R	000054	A	*G				
58		00106	R	000000	A	*G				
59		00107	R	000335	A	*G				
60		00110	R	000274	A	*G				
61		00111	R	000100	A	*G				
62		00112	R	000125	R	*G				
63		00113	R	000255	A	*G	SHIFT			
64		00114	R	000361	A					
65		00115	R	000365	A					
66		00116	R	000275	A	*G				
67		00117	R	000252	A	*G				
68		00120	R	000365	A					
69		00121	R	000272	A	*G				
70		00122	R	000032	A	*G				
71		00123	R	000125	R	*G				
72		00124	R	000155	A	*G				
					JFC					
					INC					
					EJECT					

PAGE	6	MULTH	SRC	MULTH				
73		00125	R	000253	A *G	MOSHIFT LD	R11	/HÄNGE&SKIFTA TAL 2.
74		00125	R	000253	A *G			/OM VALD TECKENBITAR O
75								/INGEN ADDITION.
76		00126	R	000366	A		R12	
77		00127	R	000273	A	*G	R11	
78		00130	R	000032	A	*G	JFC	
79		00131	R	000145	R	*G		
80		00132	R	000361	A		CLC	
81		00133	R	000250	A	*G	LD	
82							R6	/ADDERA TILL DE 4 MEST
83		00134	R	000215	A	*G	ADD	
84		00135	R	000270	A	*G	XCH	
85		00136	R	000251	A	*G	LD	
86		00137	R	000361	A		R9	/ANDERA TILL DE 4 MINST
87		00140	R	000212	A	*G		
88		00141	R	000271	A	*G	XCH	/SIGNIFIKANTA BITARNA.
89		00142	R	000032	A	*G	JFC	
90		00143	R	000145	R	*G	INC	
91		00144	R	000150	A	*G		.EJECT

PAGE	7	MULTH	SRC	MULTH				
92		00145	R		NQAD0	L.D.	P12	/FARBLIGT ?
93		00145	R	000254	A *G	JTZ	OUTM	
		00146	R	00024	A *G			
		00147	R	000153	R *G	INC	R12	
94		00150	R	000154	A *G			
95		00151	R	000100	A *G	JUN	SHIFT	
		00152	R	000113	R *G			
		00153	P					
96		00153	R	000300	A *G	OUTM	BBL	0
97				000000	A			
						*END		
						LINE\$		
					SIZE=00154	NO ERROR		

PAGE 1 DIVISION SRC DIVISION

一九四

七  
一  
九  
〇  
九

二〇

• TITLE DIVIN  
• GLOBL DIVIN, ROTH

— 1 —

三

200

00000  
00001 R 00000  
00002 R 000361 A A \*G

9

HOGERSKIFTA PÅ, R1 OCH R2 ETT STEG

00003 R 000240 A \*  
00004 R 000366 A

J. AR

8

9  
00005 R 003260 A \*<sub>2</sub>

۲

20

11

卷之三

13  
00012 R 000366 A \*  
00011 R 000242 A

四  
九

00013 R 000262 A \*G  
00014 R 000361 A

CLC

ROGERSKIFTA 1942-1943  
SISTABITEN TILL R9

00015 R 000244 A  
00016 R 000366 A \*

R  
XCK  
RAR

四

0001, R 000245 A \*

卷六

• ३

PAGE	2	DIVIH	SRC	DIVIH
23		00021	R 000366 A	RAP XCH
24		00022	R 000265 A *G	LD
25		00023	R 000246 A *G	RAR XCH
26		00024	R 000366 A	RAR XCH
27		00025	R 000266 A *G	LD
28		00026	R 000247 A *G	RAR XCH
29		00027	R 000366 A	RAR XCH
30		00030	R 000267 A *G	LDM
31		00031	R 000320 A *G	RAL XCH
32		00032	R 000365 A	R9
33		00033	R 000271 A *G	JMS
34		00034	R 000120 A *G	JTC
35		00035	R 000113 R *G	MAX
36		00036	R 000022 A *G	/DIVISORN, /OKTALT
37		00037	R 000071 R *G	LDM
38		00040	R 000327 A *G	-11
39		00041	R 000270 A *G	XCH
40		00042	R 000120 A *G	R8
41		00043	R 000130 E *G	ROTIN
42		00044	R 000150 A *G	INC
43		00045	R 000250 A *G	L0
		00046	R 000024 A *G	R8
		00047	R 000077 R *G	JTZ
				OUT
				.EJECT

PAGE 3 DIVIH SRC DIVIH

44	00050 R	000120 A	*G	JMS	AD	/OM RESULTATET AV ADDITIONEN AR	
	00051 R	000100 R	*G				
45							
46	00052 R	00032 A	*G	JFC	ROTAND	/POSITIVT ELLER O AR CARRYN=1.	
	00053 R	00042 R	*G				
47	00054 R	000151 A	*G	ROTSUB	INC	R9	/I R9 LAGGS RESULTETET IN.
48	00055 R	000123 A	*G	JMS	ROTH		
	00056 R	000130 E	*G				
49							
50	00057 R	000150 A	*G	INC	R8	/R6 OCH R7 SKIFTAS EFTER VARJE GANG.	
51	00060 R	000250 A	*G	LD	R8		
52	00061 R	000024 A	*G	JTC	OUT		
	00062 R	000077 R	*G				
53							
	00063 R	000120 A	*G	JMS	SUPT	/OM RESULTATET AV SUBTRAKTIONEN AR	
	00064 R	000113 R	*G				
54							
55	00065 R	000022 A	*G	JTC	ROTSUB	/POSITIVT ELLER O SA AR CARRYN=1.	
	00066 R	000054 R	*G	JUN	ROTADD		
56							
	00067 R	000100 A	*G				
	00070 R	000042 R	*G				
57	00071 R	000337 A	*G	MAX	LDM	17	/MAX STALLER UT MAXIMALT TAL,
58							
59	00072 R	000266 A	*G	XCH	R6	/DVS TALET NARMAST UNDERR 1.	
60	00073 R	000337 A	*G	LDM	17		
61				EJECT			

PAGE	4	DIVIH	SRC	DIVIH		
62		00074	R 000267	A *G	XCH	R7
63		00075	R 000100	A *G	JUN	OUT
		00076	R 000077	R *G		
64		00077	R 000300	A *G	0UT	BLR
65		00100	R 000361	A AD	CLC	/SUBROUTINEN AD ADDERAR TALET I R0
66		00101	R 000246	A *G	LD	R6
67		00102	R 000202	A *G	ADD	R2
68		00103	R 000266	A *G	XCH	R6
69						
70		00104	R 000245	A *G	LD	R5
71		00105	R 000201	A *G	ADD	R1
72		00106	R 000265	A *G	XCH	R5
73		00107	R 000244	A *G	LD	R4
74		00110	R 000200	A *G	ADD	R0
75		00111	R 000264	A *G	XCH	R4
76		00112	R 000300	A *G	BLR	0
77		00113	R 000361	A SUBT	CLC	/SUBROUTINEN SUJT SUBTRAHERAR TALET I R0 OCH R1 FRAN TALET I R4 OCH R5.
78						
79		00114	R 000246	A *G	LD	R6
80		00115	R 000222	A *G	SUB	R2
81					,EJECT	

PAGE	5	DIVIH	SRC	DIVIH	
82				XCH	R6
83	00116	R	000266	A *G	CMC
83	00117	R	000363	A	LD
84					R5
84	00120	R	000245	A *G	SUR
85					R1
85	00121	R	000221	A *G	XCH
86					R5
86	00122	R	000265	A *G	CMC
87	00123	R	000363	A	LD
88					R4
88	00124	R	000244	A *G	SUB
89					R0
89	00125	R	000220	A *G	XCH
90					R4
90	00126	R	000264	A *G	SQL
91					0
91	00127	R	000300	A *G	END
92					
00130	R	000130	E *F	NO ERROR LINES	SIZE=00131

PAGE	1	ROTH	SRC	ROTH	
1					
2					
3					
4					
5	00001 R 000251 A *G		ROTH		*TITLE ROTH
6	00002 R 000346 A			LD	*SLOHL ROTH
7	00003 R 000271 A *G			R9	CLC
8	00004 R 000247 A *G			LD	R9
9	00005 R 000365 A			RAL	RAP
10	00006 R 000267 A *G			XCH	XCH
11	00007 R 000246 A *G			LD	R7
12	00010 R 000365 A			RAL	R7
13	00011 R 000266 A *G			XCH	R6
14	00012 R 000245 A *G			LD	R6
15	00013 R 000365 A			RAL	R5
16	00014 R 000265 A *G			XCH	R5
17	00015 R 000244 A *G			LD	R4
18	00016 R 000365 A			RAL	R4
19	00017 R 000264 A *G			XCH	R4
20	00020 R 000300 A *G			RBL	0
	SIZE=00021	NO ERROR			*END LINES

PAGE	1	DUB	SRC	DUB
1				
2				
3	00000 R			
	00000 R 000040 A *G			DUB
	00001 R 00000 A *G			
4	00002 R 000050 A *G			
	00003 R 000040 A *G			
5	00004 R 000041 A *G			
6	00005 R 000356 A			
7	00006 R 000262 A *G			
8	00007 R 000357 A			
9	00010 R 000263 A *G			
10	00011 R 000361 A			
11	00012 R 000247 A *G			
12	00013 R 000223 A *G			
13	00014 R 000265 A *G			
14	00015 R 000363 A C			
15	00016 R 000246 A *G			
16	00017 R 000222 A *G			
17	00020 R 000264 A *G			
18	00021 R 000022 A *G			
19	00022 R 000033 R *G			
	.EJECT			

.TITLE DUB  
•GLOBAL DUB  
FIN R0,0 /THIS SUBROUTINE LIMITS nJ=U(T)-U(T-1)

DUB F14 R8,040 /<R8,R9>=A

SRC R0 RD2 XCH R2 /<R2,R3>=U(T-1)

RD3 XCH R3 CLC LD R7 /<R4,R5>=DU

SUB R3 XCH R5 CMC LD R6 SUB R2 XCH R4 JTC E /IF DU<0 THEN <R4,R5>=-DU=IDU

PAGE	DUB	SRC	DUE
20	00023	R 000360	A CLA
21	00024	R 000225	A *G SUB R5
22	00025	R 000265	A *G XCH R5
23	00026	R 000363	A CMG
24	00027	R 000320	A *G LDM 0
25	00030	R 000224	A *G SUR R4
26	00031	R 000264	A *G XCH R4
27	00032	R 000140	A *G INC R0
28	00033	R 000361	A E CLC
29	00034	R 000245	A *G LU R5
30	00035	R 000231	A *G SUR R9
31	00036	R 000265	A *G XCH R5
32	00037	R 000363	A CMG
33	00040	R 000244	A *G LD R4
34	00041	R 000230	A *G SUB R8
35	00042	R 000264	A *G XCH R4
36	00043	R 000032	A *G JFC F /IF B>0 THEN U=<R6,R7>=U(T-1) + A OR U=U(T-1) - A
37	00044	R 000071	R *G
38	00045	R 000240	A *G LD R0
39	00046	R 000024	A *G JTZ G
40	00047	R 000062	R *G .EJECT

DEPENDING ON THE SIGN OF DU

PAGE	3	DUB	SRC	DUF
41		00050	R 000361 A	CLC
42		00051	R 000243 A *G	LD R3
43		00052	R 000231 A *G	SUB R9
44		00053	R 000267 A *G	XCH R7
45		00054	R 000363 A	CMC
46		00055	R 000242 A *G	LD R2
47		00056	R 000230 A *G	SUB R8
48		00057	R 000266 A *G	XCH R6
49		00060	R 000100 A *C	JU <sup>W</sup> F
50		00061	R 000071 R *G	CLC
51		00062	R 000361 A G	LD R3
52		00063	R 000243 A *C	ADD R9
53		00064	R 000211 A *G	XCH R7
54		00065	R 000267 A *G	LD R2
55		00066	R 000242 A *G	ADD R8
56		00067	R 000210 A *G	XCH R6
57		00070	R 000266 A *G	NOP
58		00071	R 000000 A F	BBL R
59		00072	R 000300 A *G	*END SIZE=00073 NO ERROR LINES